



Обзор экспериментов по поиску темной материи

Д.Ю. Акимов

ФГБУ "ГНЦ РФ ИТЭФ", НИЯУ МИФИ

Москва, МГУ, 26 ноября 2014г

Содержание

- Мотивация поиска Темной Материи
- Поиск WIMPов прямым детектированием
- Фоны и основные принципы построения детекторов
- Эксперименты

Many thanks to R. Gaitskell
for permission to use some
slides from his recent
review talk at MEPhI !

Физическая мотивация

Сегодня свидетельства в пользу существования Темной Материи намного сильнее, чем когда-либо!

Астрофизическая
мотивация

Кривые вращения
спиральных
галактик

Гравитационное
линзирование
скоплениями
галактик

Космологическая мотивация

Крупномасштабная
структура Вселенной

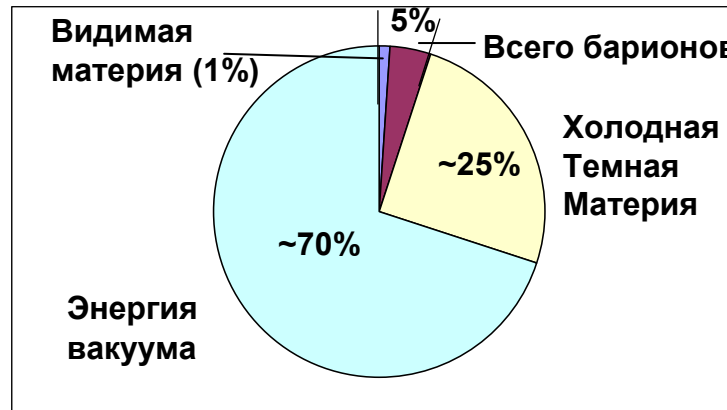
Анизотропия реликтового
излучения (CMB)

N-body симуляция

Замечательное согласие
выводов по CMB and SN Ia

Теория
нуклеосинтеза

Современная космологическая модель

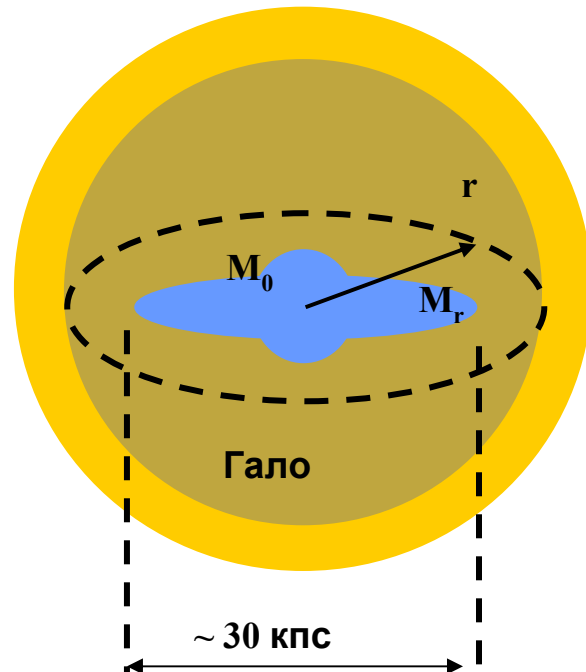
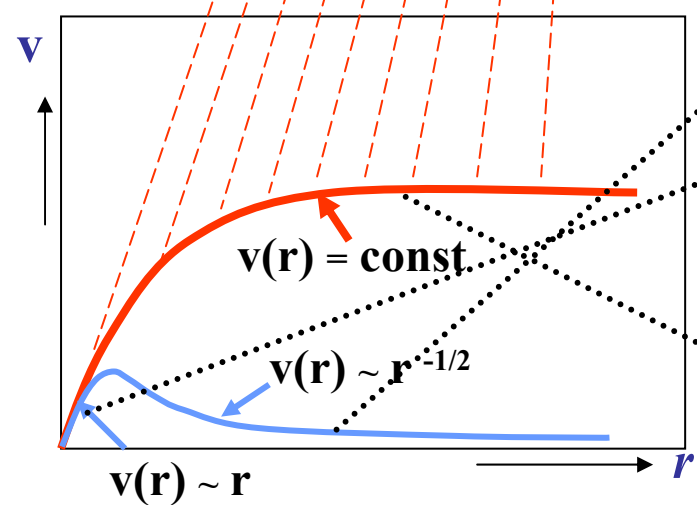


$$\rho \approx \rho_{cr} \Rightarrow$$

$$\Omega = \rho / \rho_{cr} \approx 1$$

Астрофизические свидетельства

Что же наблюдается на галактических масштабах?



$v(r) \sim r^{-1/2}$ для случая центральной массы

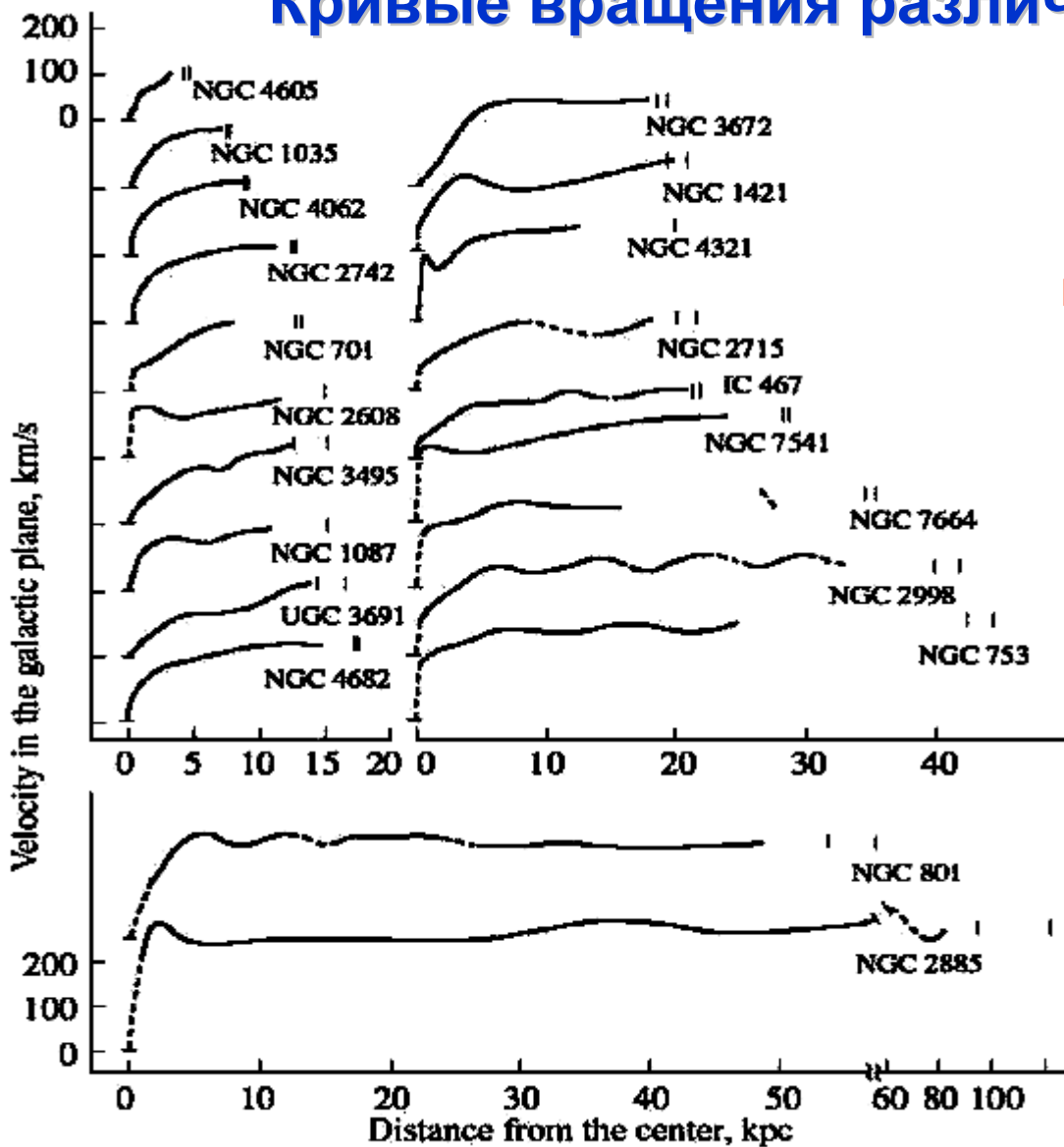
M_0

$v(r) \sim r$ для случая равномерного
распределения массы ($M_r \sim r^3$)

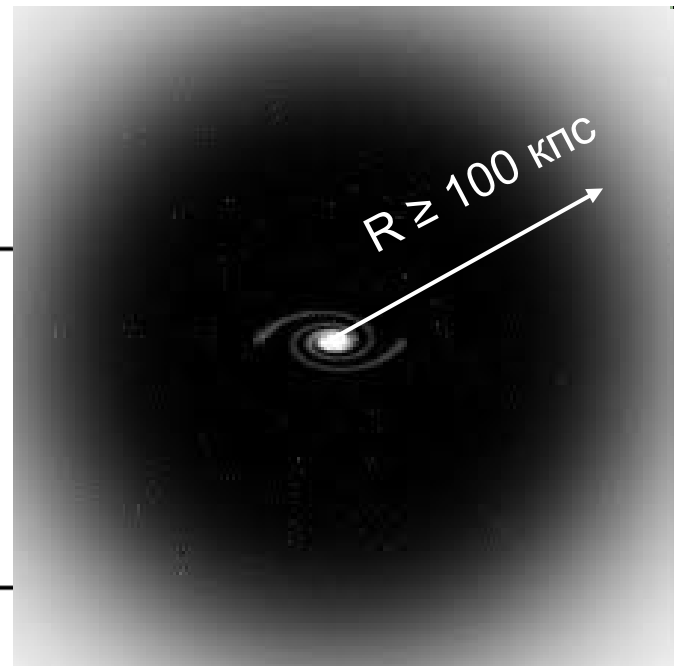
$v(r) = \text{const}$ для случая $M_r \sim r$

Астрофизические свидетельства

Кривые вращения различных галактик



Для объяснения такого поведения кривых необходимо количество гравитирующей материи в ~ 10 раз превышающее количество видимой!



Астрофизические свидетельства

Есть галактики, состоящие из Тёмной Материи!

В 2005 г. астрономы из Cardiff University открыли галактику VIRGOHI21 практически полностью состоящую из Тёмной Материи ([arXiv:astro-ph/0502312](https://arxiv.org/abs/astro-ph/0502312))!

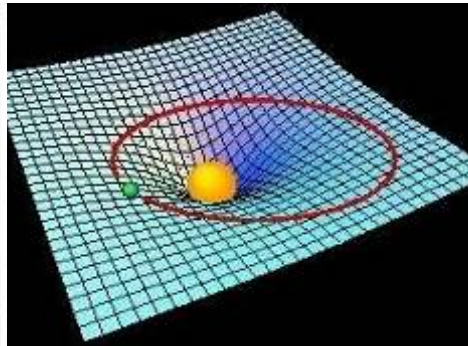
В ней нет звёзд, только один водород видимый в линии 21 см; водород вращается, и его скорость не убывает с расстоянием

$M_H:M_{total} = 1:1000$

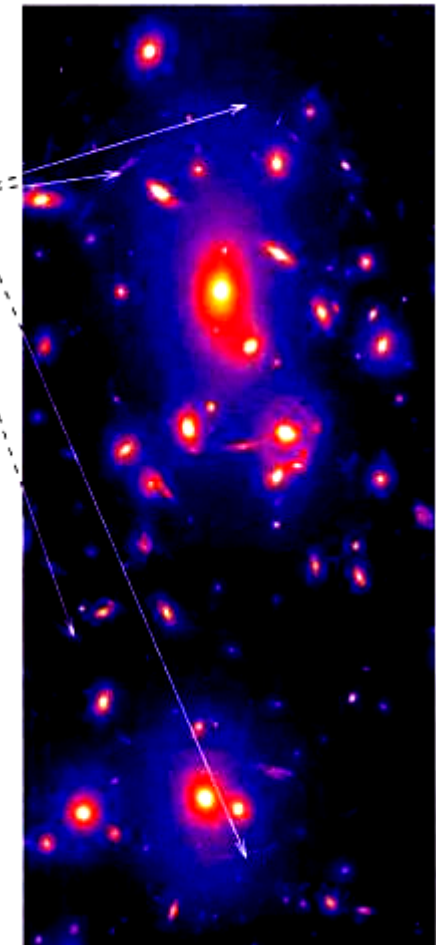
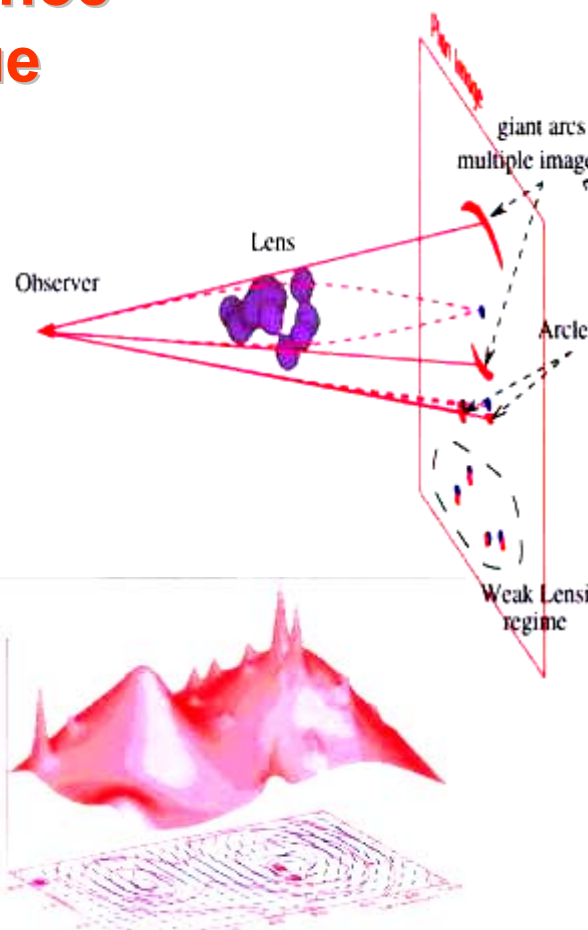
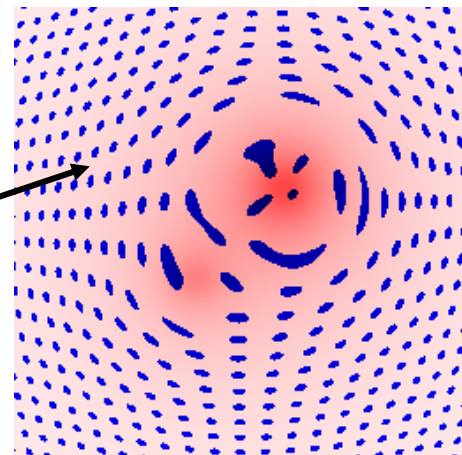


Астрофизические свидетельства

Гравитационное линзирование



Так выглядел бы регулярный паттерн, находящийся за "размазанным" массивным объектом

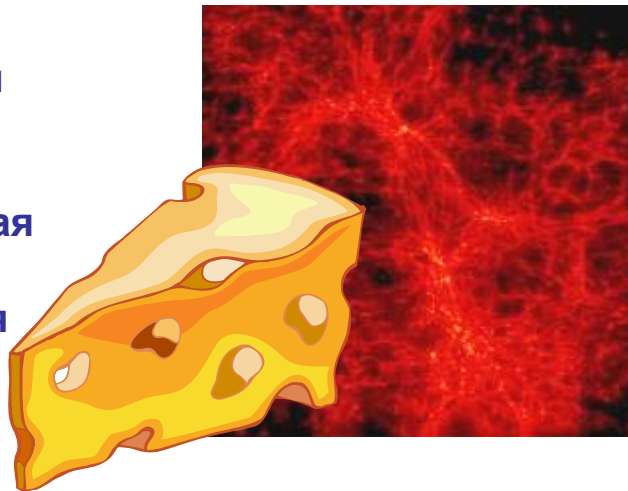


Также требуется в ~10 раз большая масса

Космологическая мотивация



Крупномасштабная
структура
Вселенной,
реконструированная
из измерений
красного смещения
объектов



Результат N-body
симуляции,
проведенный на
суперкомьютерах

Главный результат симуляции – Темная Материя должна быть холодной
(нерелятивистской)

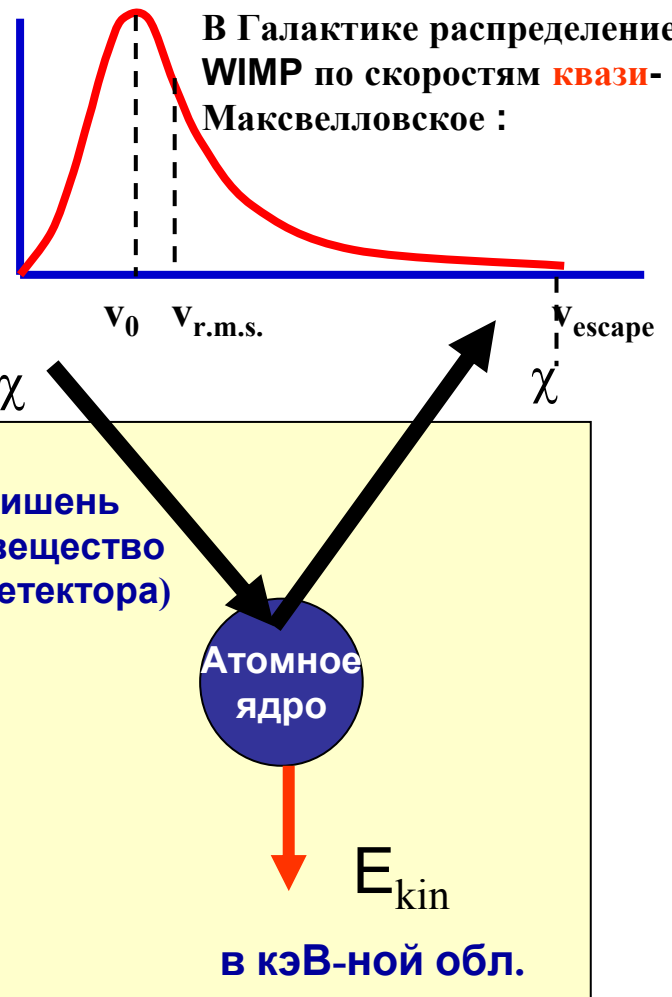
Теория Суперсимметрии SUSY предоставляет нам новый класс частиц.

*Нейтралино – наиболее вероятный кандидат в
WIMP - (Weakly Interacting Massive Particles)*

Диапазон масс от неск. дес. до неск. сотен ГэВ

Местная галактическая плотность $\sim 0.3 \text{ ГэВ/см}^3 \sim$ неск. частиц в литре!

Поиск WIMP: прямое детектирование



- $\sigma \sim A^2$ - spin-independent (SI) interaction
- $\sigma \sim J(J+1)$ - spin-dependent (SD) interaction

$$\frac{dn_w}{dv} = 4\pi \left(\frac{1}{\pi v_0^2} \right)^{1/2} v^2 \exp\left(-\frac{v^2}{v_0^2}\right)$$

$$\frac{dN}{dE} = \frac{\rho}{M_\chi} \sigma N_N \frac{M_N c^2}{4m_{\text{red}}^2 v_0} \frac{g(\eta, E)}{\eta} F_N^2(E)$$

$$g(\eta, E) = \begin{cases} \operatorname{erf}(\xi + \eta) - \operatorname{erf}(\xi - \eta) - \frac{4}{\sqrt{\pi}} \eta e^{-z^2} & \xi \leq z - \eta \\ \operatorname{erf}(z) - \operatorname{erf}(\xi - \eta) - \frac{2}{\sqrt{\pi}} (z + \eta - \xi) \eta e^{-z^2} & z - \eta \leq \xi \leq z + \eta \\ 0, & \xi \geq z + \eta, \end{cases}$$

M_χ , M_N и m_{red} – masses of WIMP and target nucleus, and their reduced mass, respectively;

$$\xi_i = \sqrt{\frac{M_i E_i}{2m_{\text{red}}^2 v_0^2}} \quad \eta = \frac{v_{\text{Earth}}}{v_0} \quad z = \frac{v_{\text{escape}}}{v_0}$$

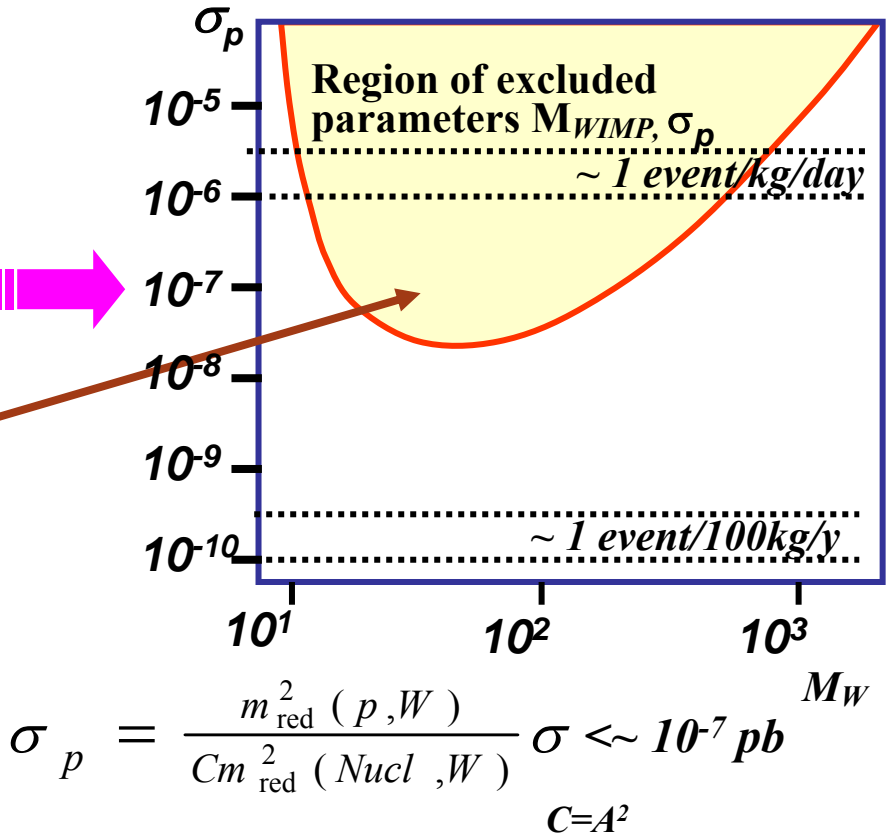
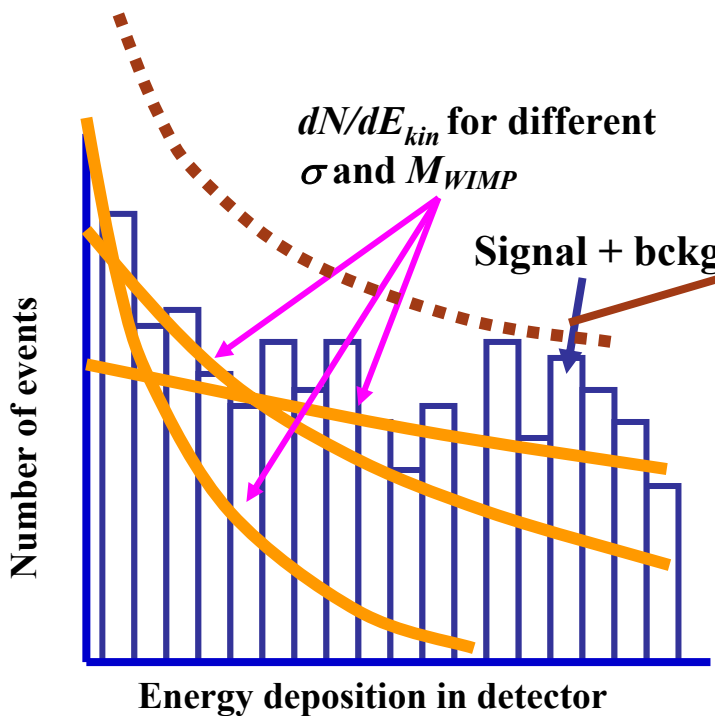
$v_{\text{Earth}} = 232$ km/s – Earth velocity,

$v_0 = \sqrt{\frac{2}{3}} v_{r.m.s.}$ – Quasi-Maxwell distribution parameter,
 N_N – number of target nuclei,

$\rho = 0.3$ GeV/cm³ – WIMP density in Galactic halo,

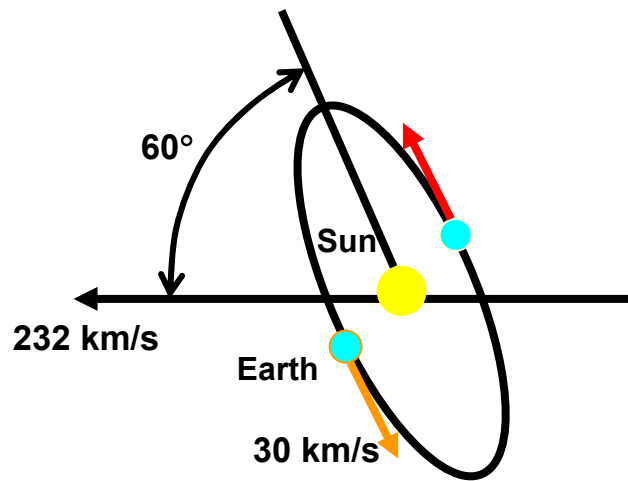
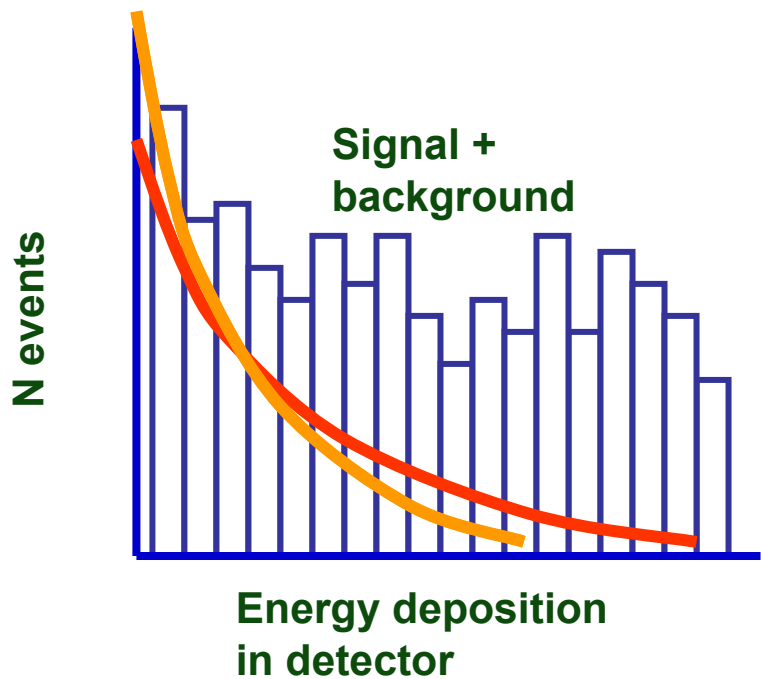
σ – WIMP interaction cross-section,
 $F_N^2(E)$ – nuclear form factor

Регистрация WIMP: прямое детектирование



Exponential behavior is very similar to that of bckg of various origins.

Поиск WIMP: годичная модуляция



Ожидаемая вариация темпа счета WIMP $\sim 5\%$
(с максимумом 2 го июня)

Первый эксперимент

В 2012 г отмечался 25-летний юбилей:
<http://www.pnnl.gov/physics/darkmattersymp.stm>

Volume 195, number 4

PHYSICS LETTERS B

17 September 1987

LIMITS ON COLD DARK MATTER CANDIDATES FROM AN ULTRALOW BACKGROUND GERMANIUM SPECTROMETER

S.P. AHLEN ^a, F.T. AVIGNONE III ^b, R.L. BRODZINSKI ^c, A.K. DRUKIER ^{d,e}, G. GELMINI ^{f,g,1}
and D.N. SPERGEL ^{d,h}

^a Department of Physics, Boston University, Boston, MA 02215, USA

^b Department of Physics, University of South Carolina, Columbia, SC 29208, USA

^c Pacific Northwest Laboratory, Richland, WA 99352, USA

^d Harvard-Smithsonian Center for Astrophysics, Cambridge, MA 02138, USA

^e Applied Research Corp., 8201 Corporate Dr, Landover MD 20785, USA

^f Department of Physics, Harvard University, Cambridge, MA 02138, USA

^g The Enrico Fermi Institute, University of Chicago, Chicago, IL 60637, USA

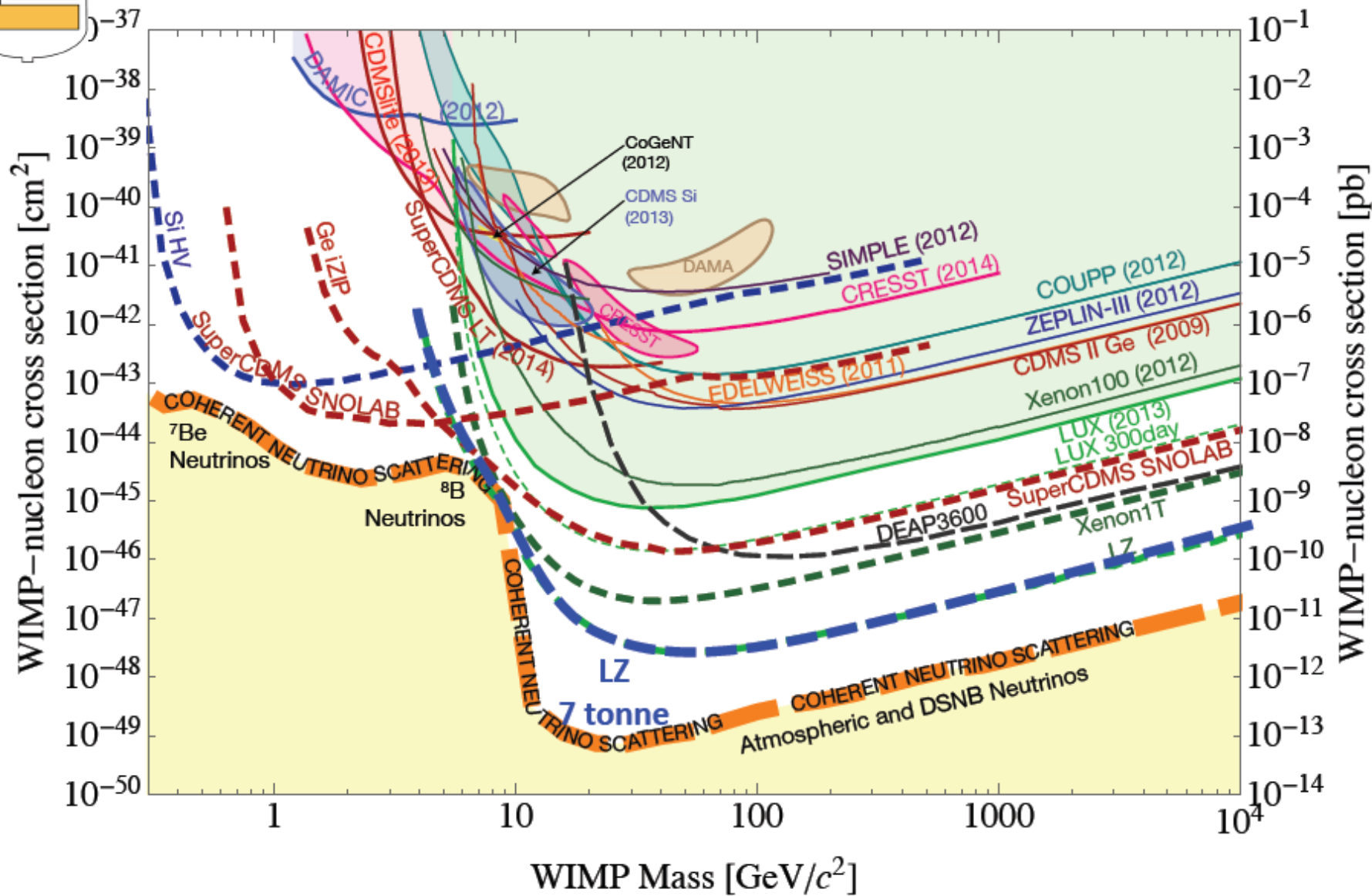
^h Institute for Advanced Study, Princeton, NJ 08540, USA

Received 5 May 1987

An ultralow background spectrometer is used as a detector of cold dark matter candidates from the halo of our galaxy. Using a realistic model for the galactic halo, large regions of the mass-cross section space are excluded for important halo component particles. In particular, a halo dominated by heavy standard Dirac neutrinos (taken as an example of particles with spin-independent Z^0 exchange interactions) with masses between 20 GeV and 1 TeV is excluded. The local density of heavy standard Dirac neutrinos is $< 0.4 \text{ GeV/cm}^3$ for masses between 17.5 GeV and 2.5 TeV, at the 68% confidence level.



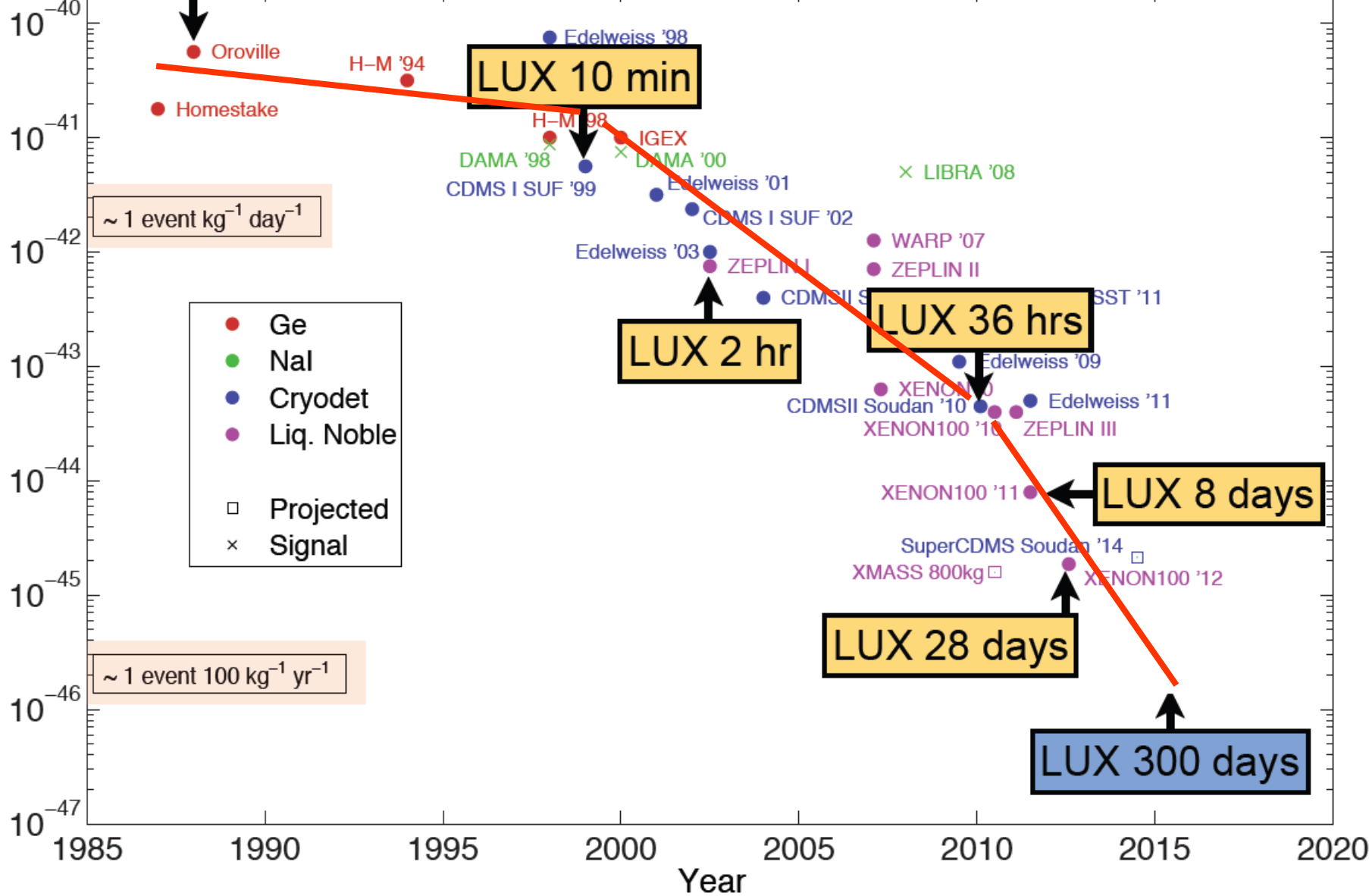
Области исключения в пространстве M_W - σ



LUX 2 min

Dark Matter Searches: Past, Present & Future

Limit Scalar Cross-section cm^2 [60 GeV WIMP]



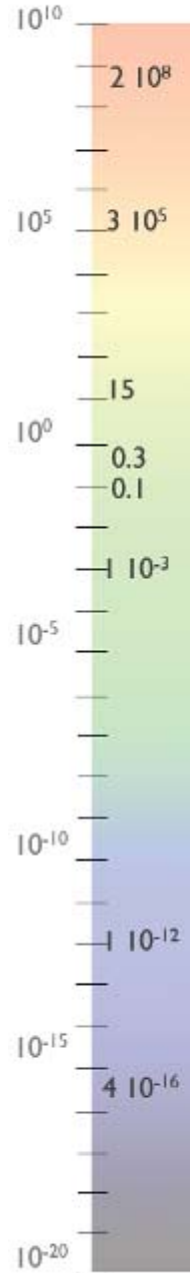
География DM экспериментов



Picture from L. Baudis, 2012

$\mu\text{Gy/hr}$

Мощность дозы гамма-излучения в мкГр/час в различных местах



Reactor building directly after Chernobyl accident



Full body CT scan



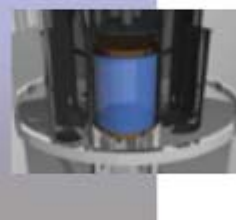
Average in Ramsar, Iran



Davis Cavern - 4850' underground



Middle of Water Tank



Middle of Detector

Радиоактивные загрязнения

Обычные вещества



Калиевая селитра -
до 10^4 Бк/кг



Гранит -
до 10^3 Бк/кг



Тело человека -
 $\sim 10^2$ Бк/кг



Бананы -
 $\sim 10^2$ Бк/кг
 $\sim 10 - 20$ Бк/шт

Низкофоновые



Тефлон
 $< 7 \cdot 10^{-5}$ Бк/кг



Электролитическая медь
 $< 1 \cdot 10^{-6}$ Бк/кг



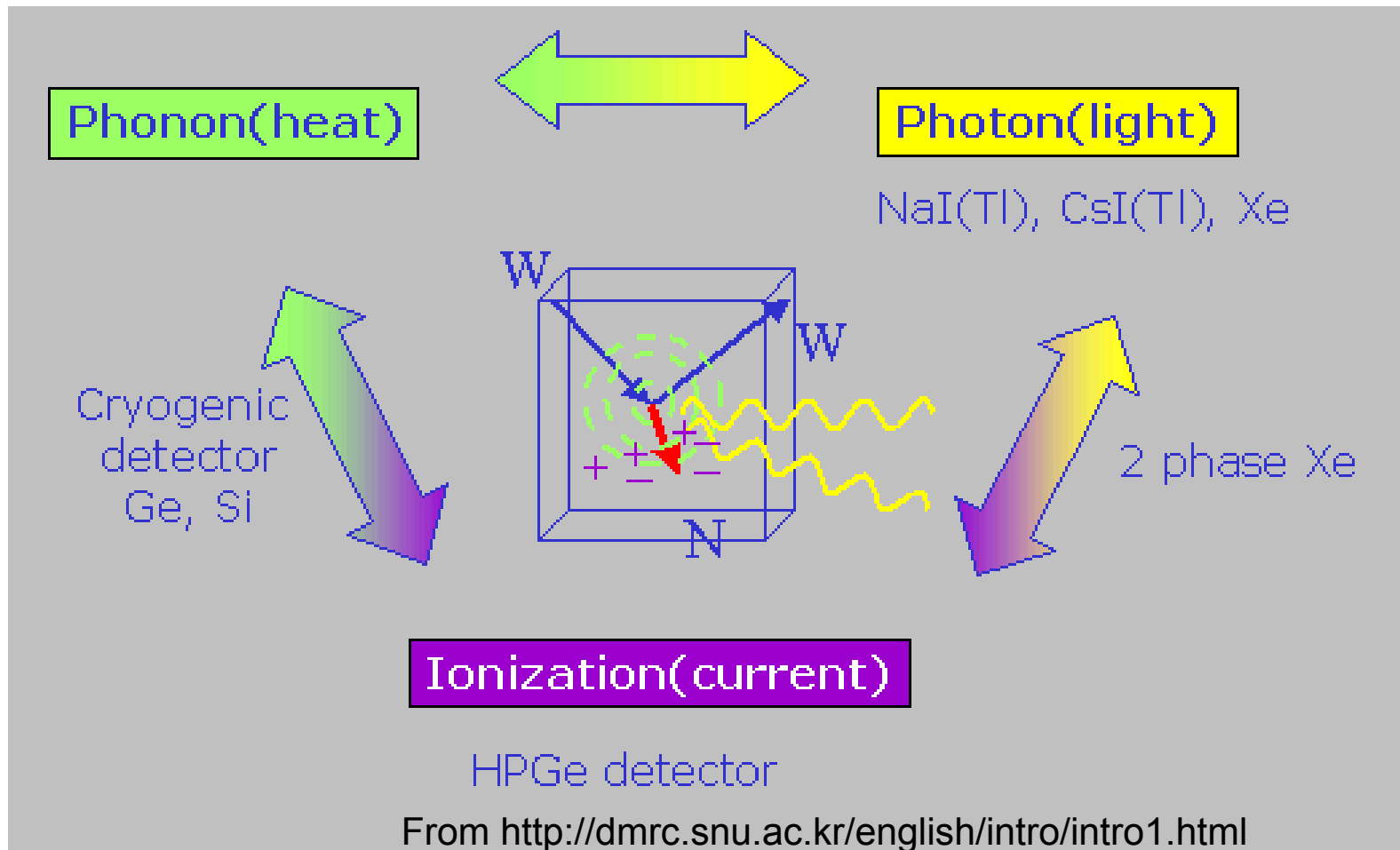
Namamatsu R11410-20
 $\sim 10^{-2}$ Бк/шт.



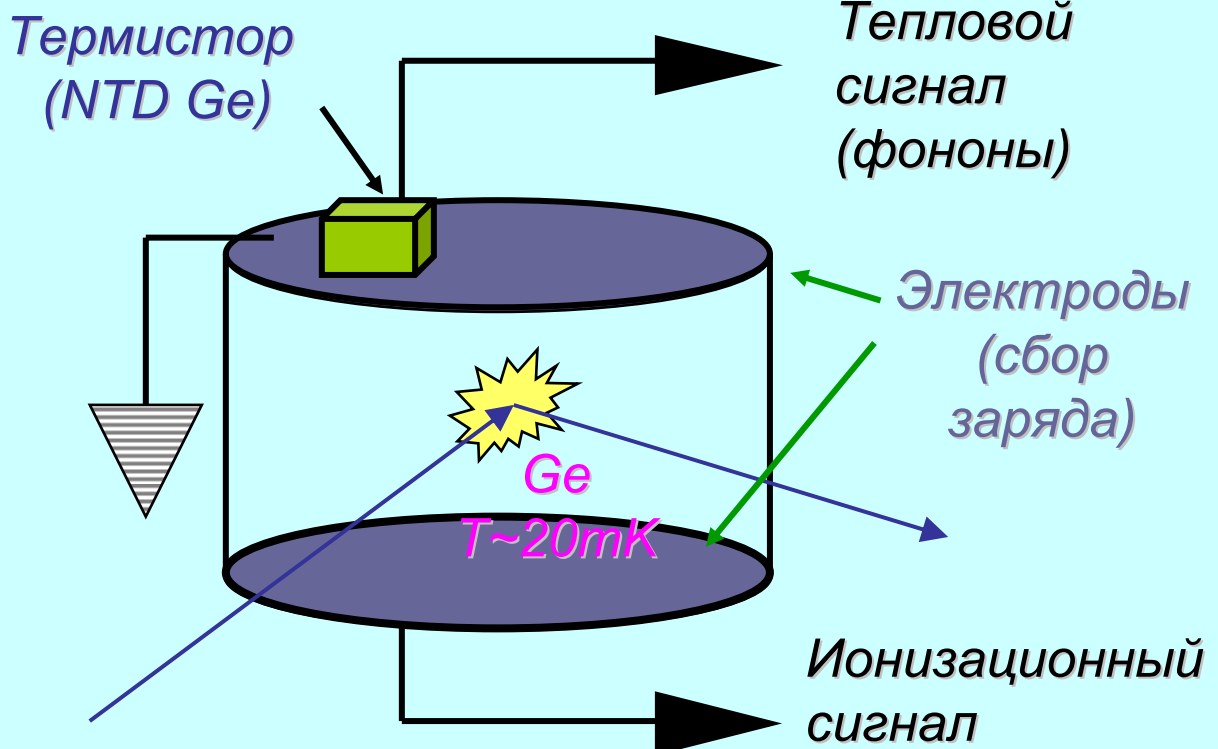
QUPID
 $< 3 \cdot 10^{-4}$ Бк/шт.

Режекция гамма-фона и электронов

Соотношение доли энергии, идущей по различным каналам энерговыделения, различно для NR и ER



Детектирование WIMP с помощью низкотемпературных болометров



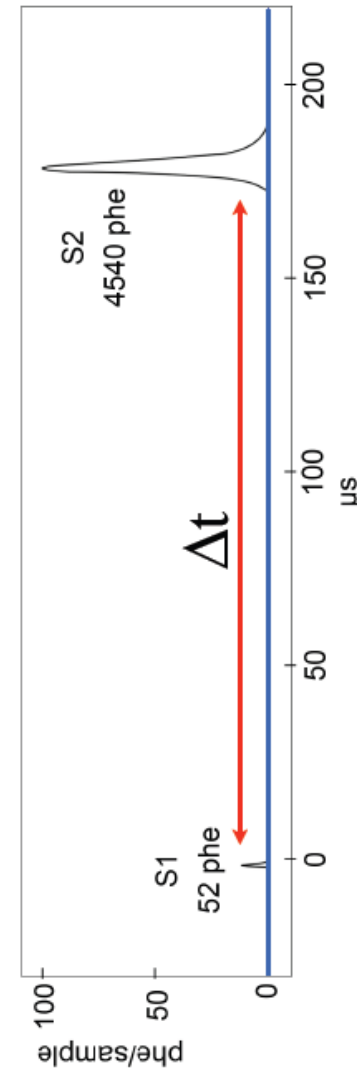
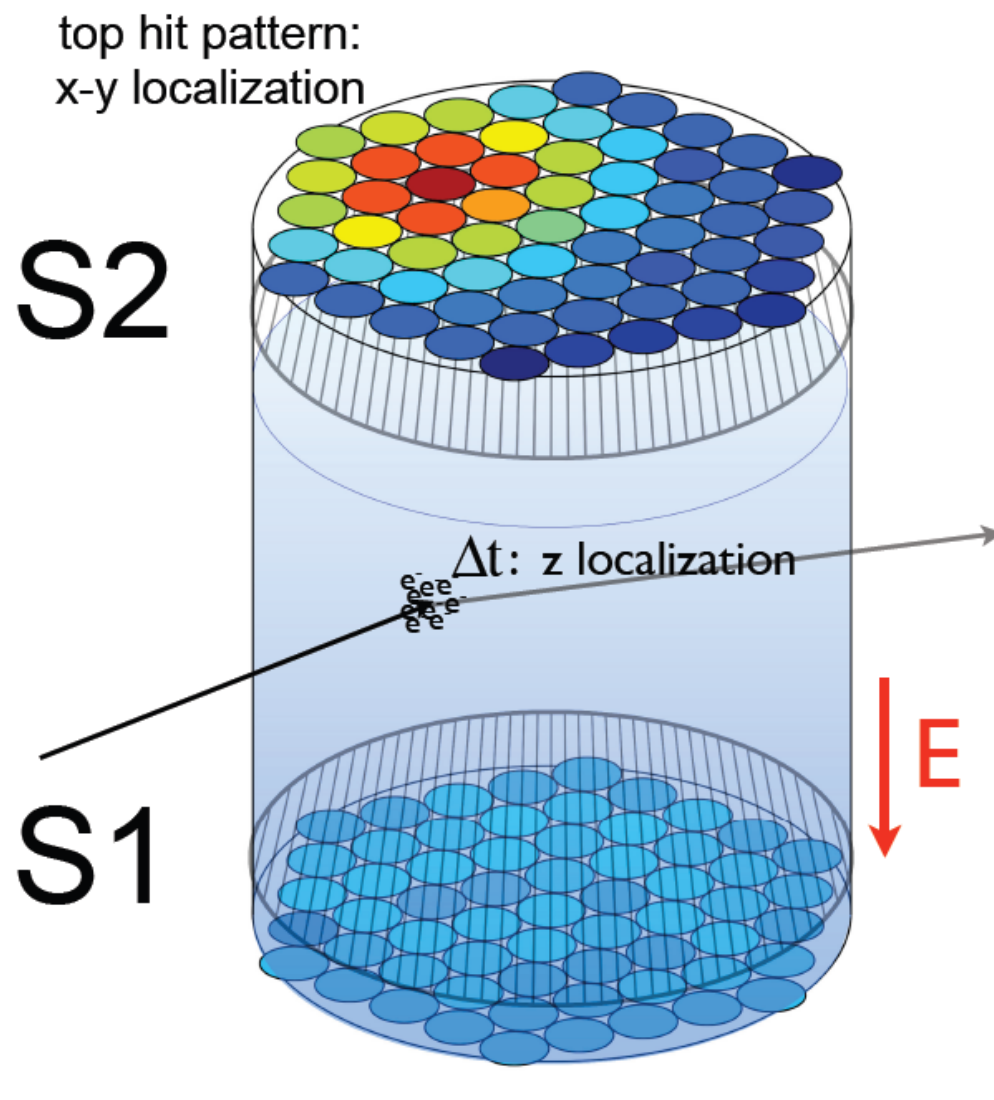
Теплоёмкость диэлектрика определяется согласно закону Дебая:

$$C = \lambda_D \left(\frac{T}{\Theta_D} \right)^3,$$

где $\lambda_D = 1944$ Дж/моль/К,
 T – температура (К),
 Θ_D – температура Дебая.

Для Ge, например,
 Θ_D равна 374К.
При $T \sim 20$ мК
 $C_{Ge} \sim 20$ кэВ/моль/мкК.

Детектирование WIMP с помощью двухфазного эмиссионного детектора (LXe, LAr)

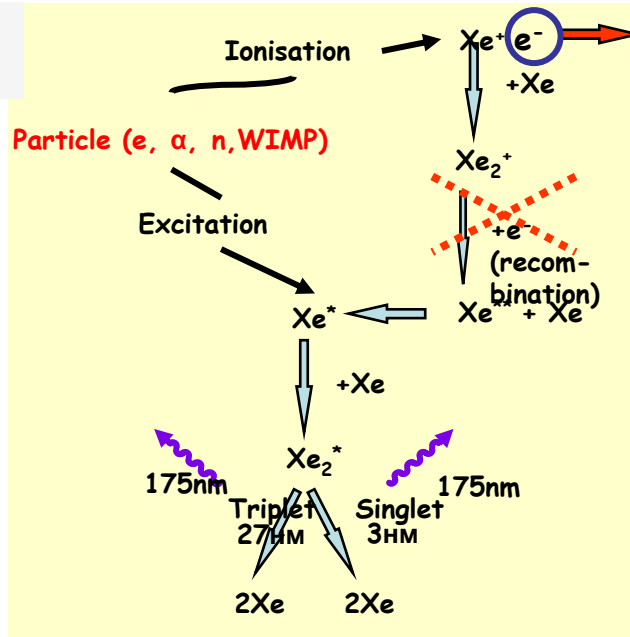
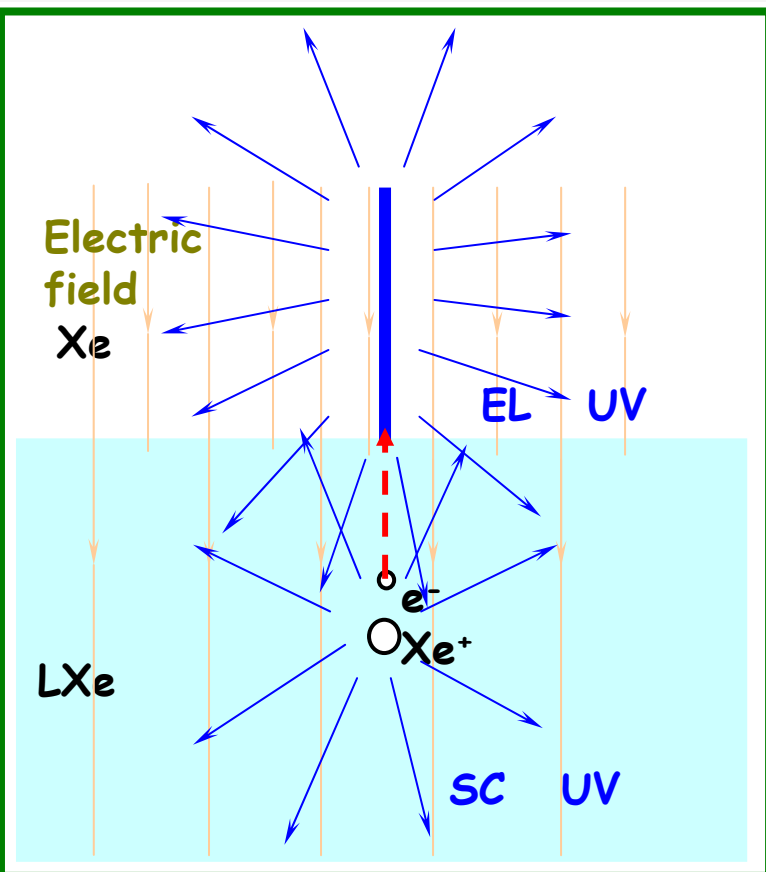


Discrimination of particles in a two-phase detector (Xe)

B.A. Dolgoshein, V.N. Lebedenko, B.U. Rodionov,
JETF Letters (in Russian), 1970, v. 11, p. 513

For the Dark Matter search:

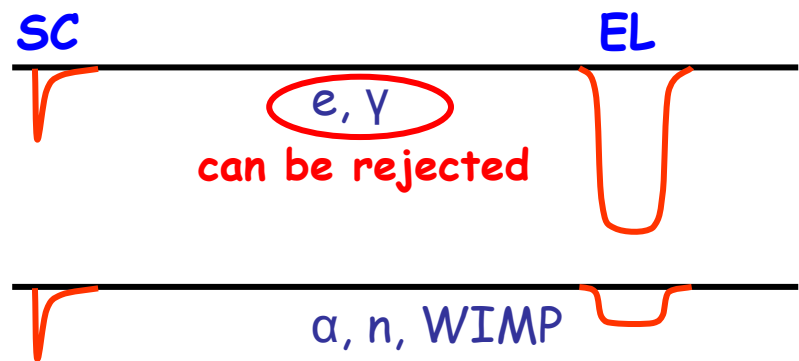
A.S. Barabash and A.I. Bolozdyna, JETF
Letters (in Russian), 1989, v. 49, p. 359



Electrons are partly extracted from the track:
recombination is suppressed

Suppression depends on dE/dX

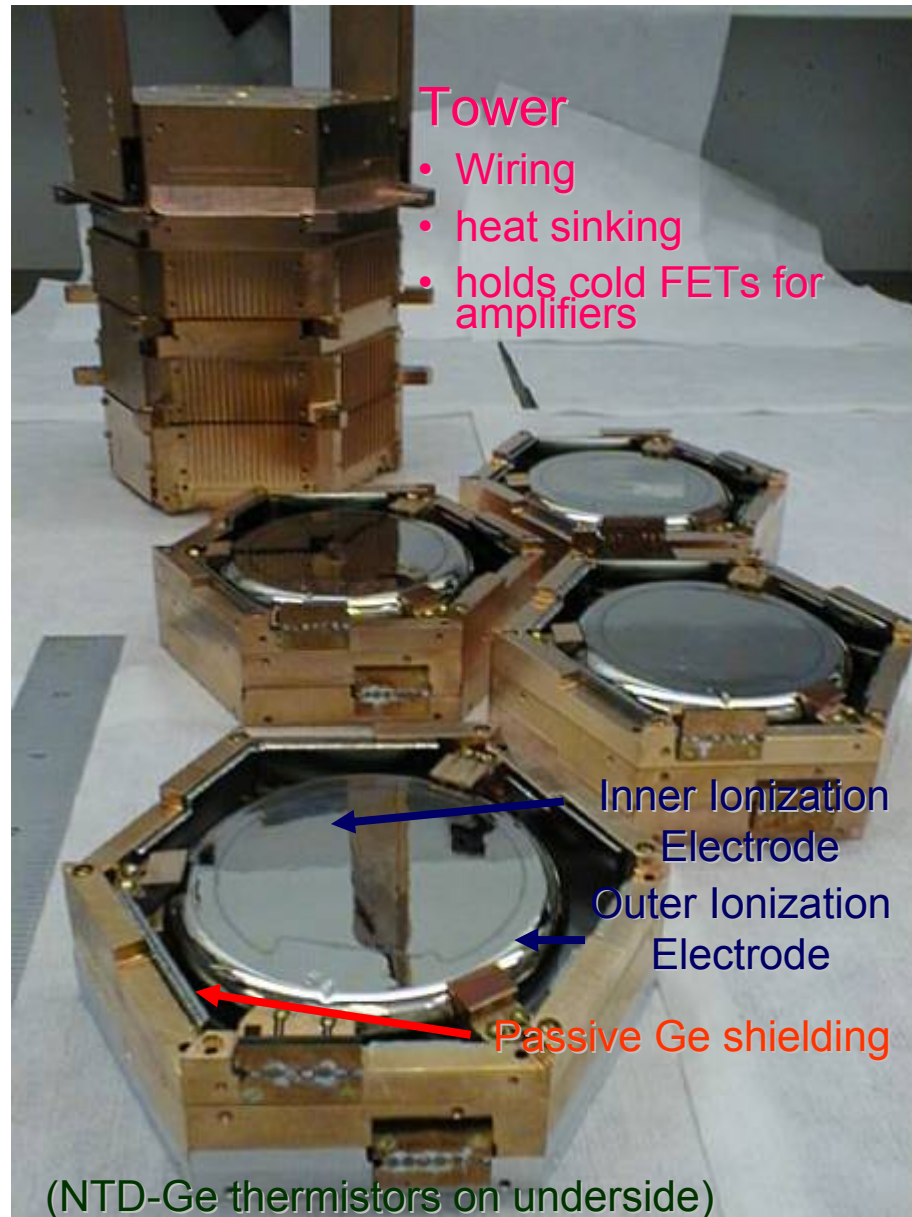
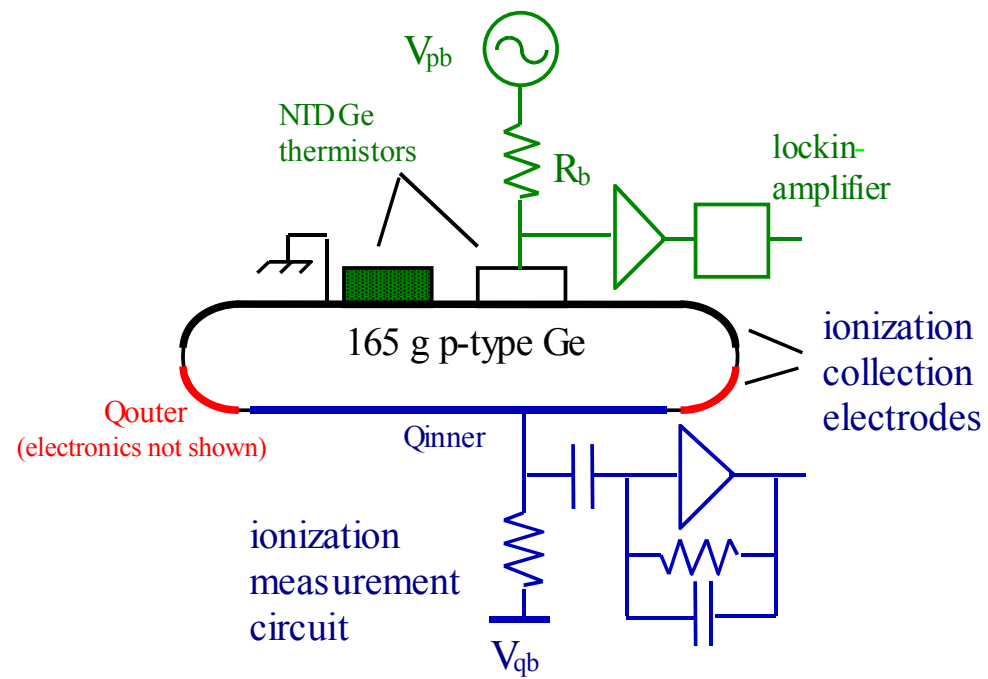
Ratio of SC/EL is different for different kind of particles

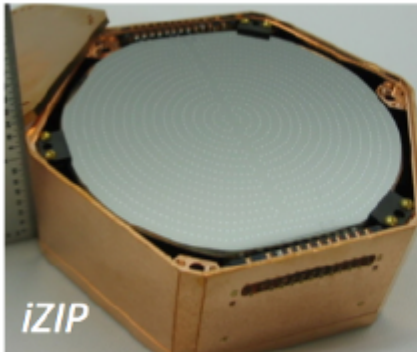


Коллаборация по поиску Тёмной Материи CDMS – Cryogenic Dark Matter Search

Ge BLIP Detectors

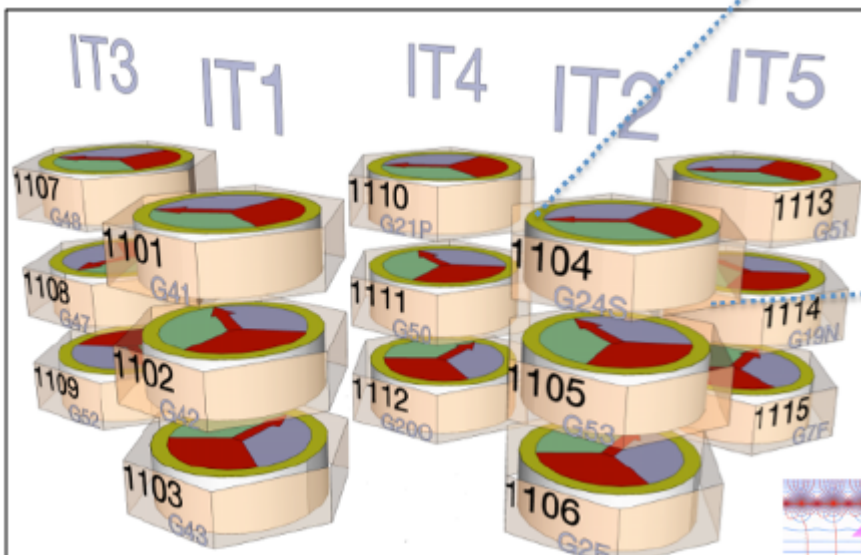
Berkeley Large Ionization-
and Phonon-mediated Detectors





iZIP

SuperCDMS Soudan



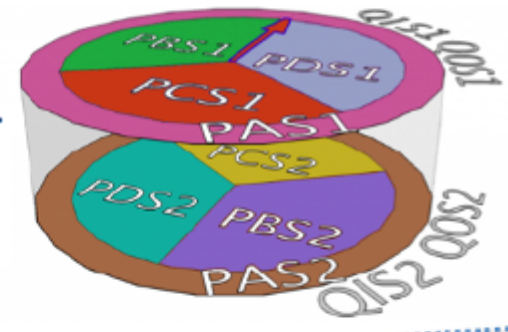
15 germanium detectors

0.6 kg each

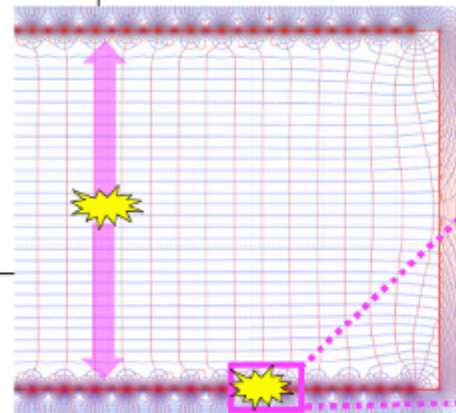
Operational since March of 2012

Data for this analysis: 577 kg-days
taken from Mar 2012 – July 2013
7 iZIPs w/ lowest trigger thresh

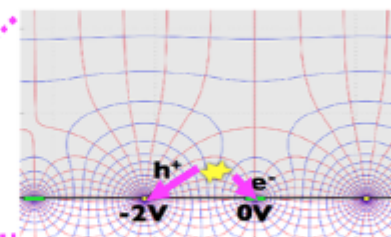
*interleaved
Z-sensitive
Ionization &
Phonon detector*



*Improved fiducialization from measurement
of z-symmetric ionization response
Phonon guard and z-symmetric phonon
response helps too!*

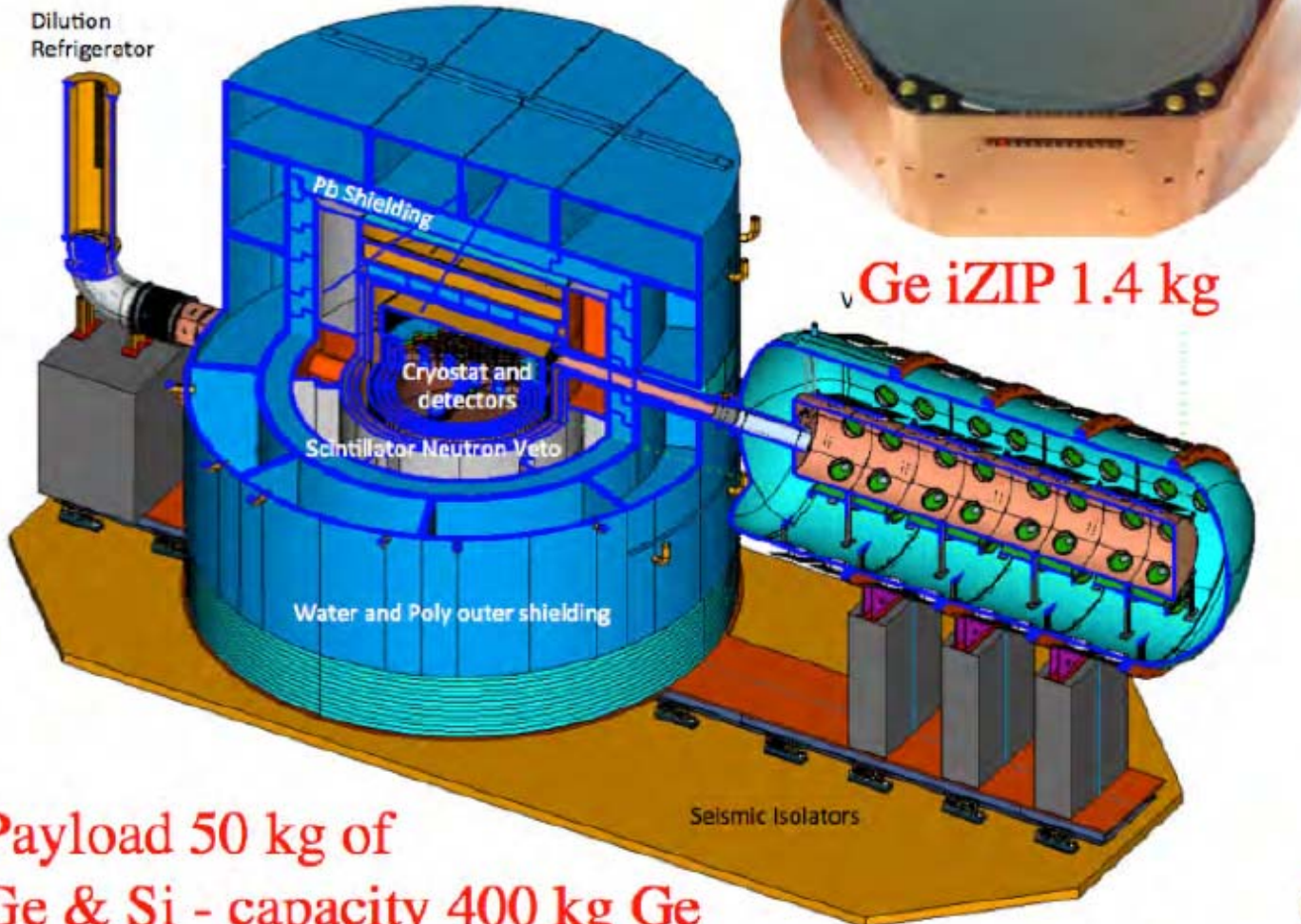


APL 103, 164105(2013)



SuperCDMS SNOLAB Experiment

- SNOLAB 6010 mwe



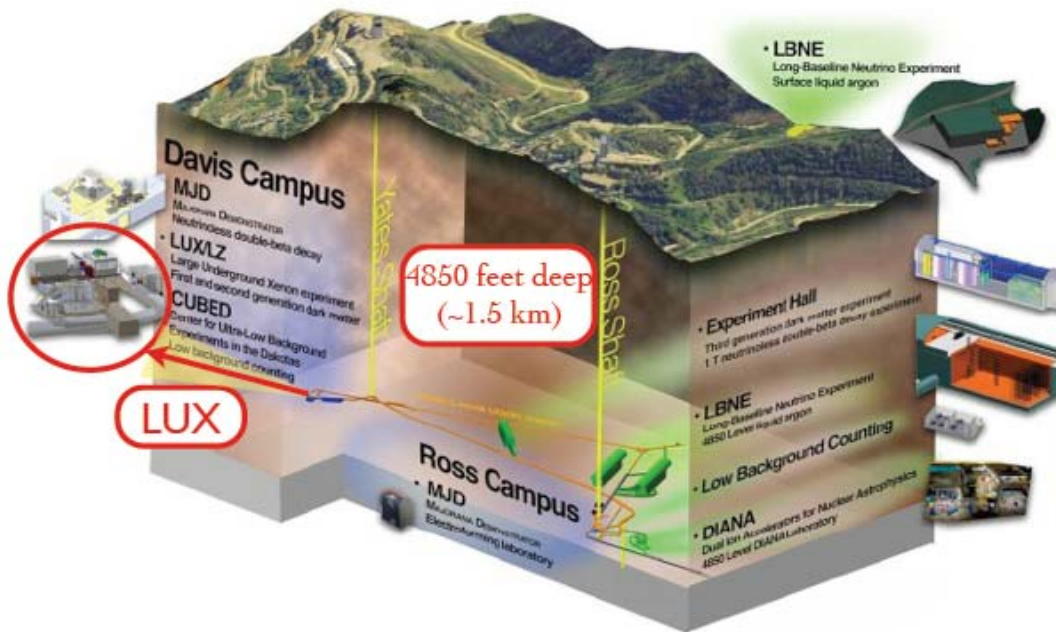
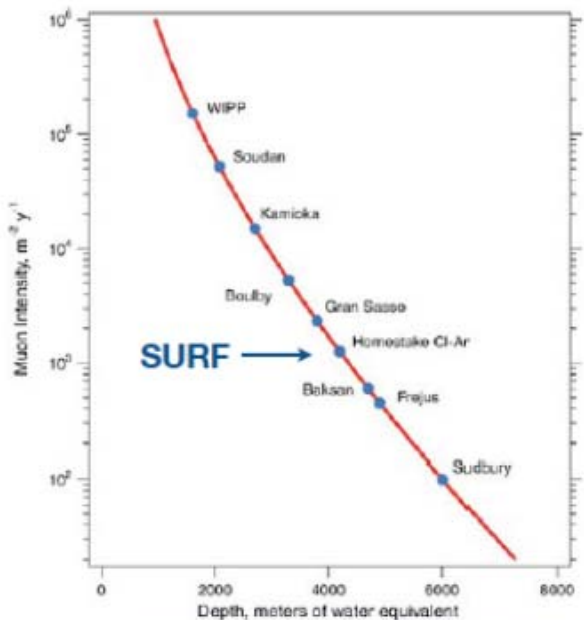
Payload 50 kg of
Ge & Si - capacity 400 kg Ge



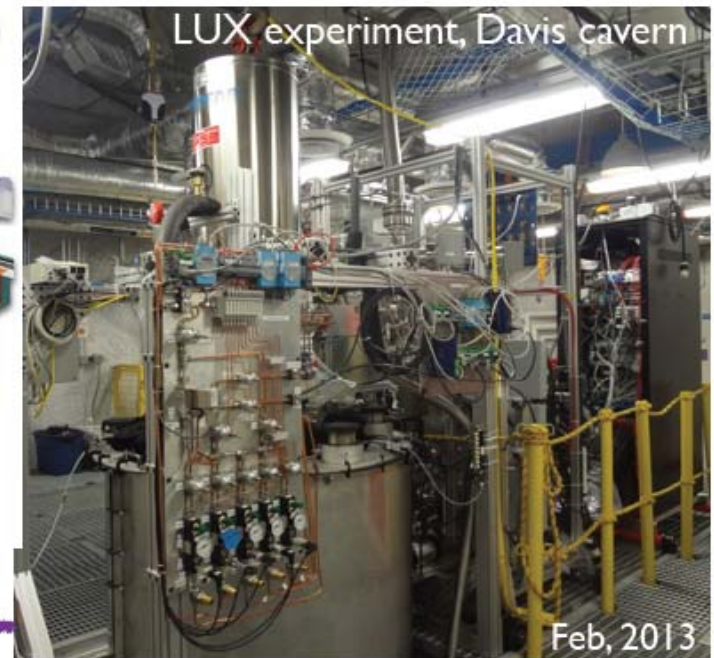
Ge Tower 8.4 kg

Эксперимент LUX

Sanford Underground Research Facility (SURF) in Lead, SD

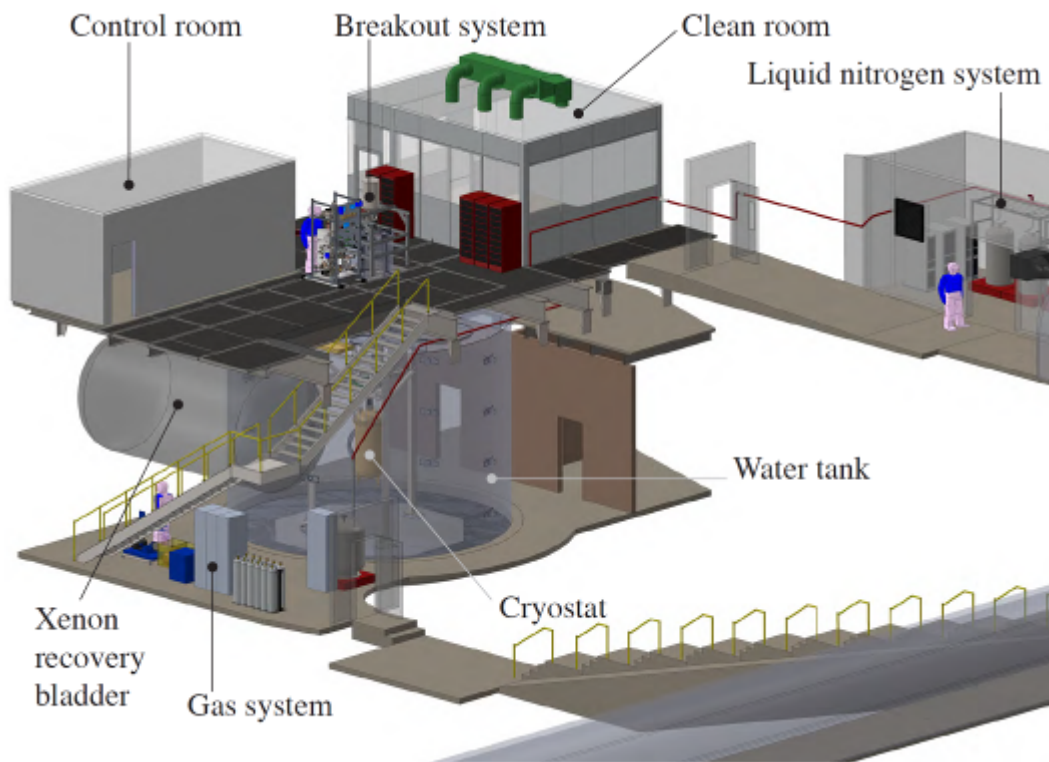
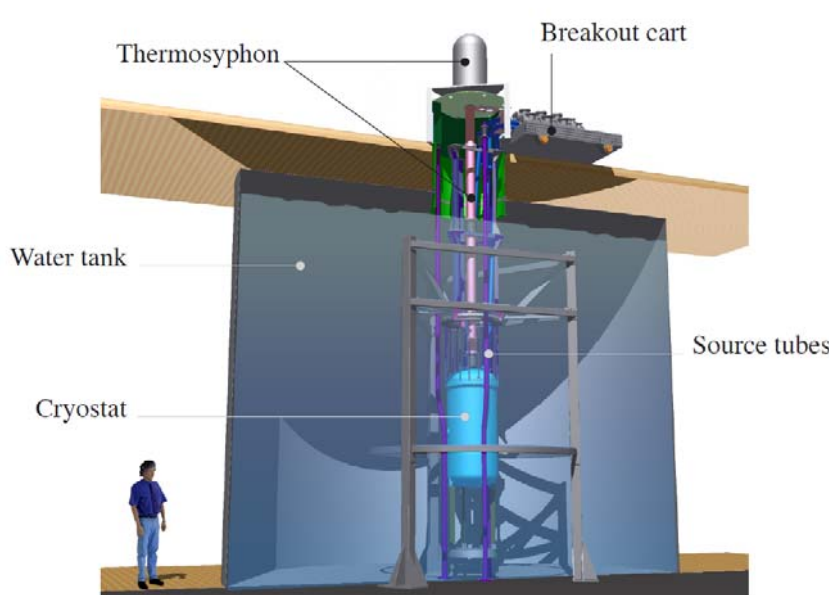


Muon flux reduced by 10^7 (4.3 km.w.e)



Эксперимент LUX

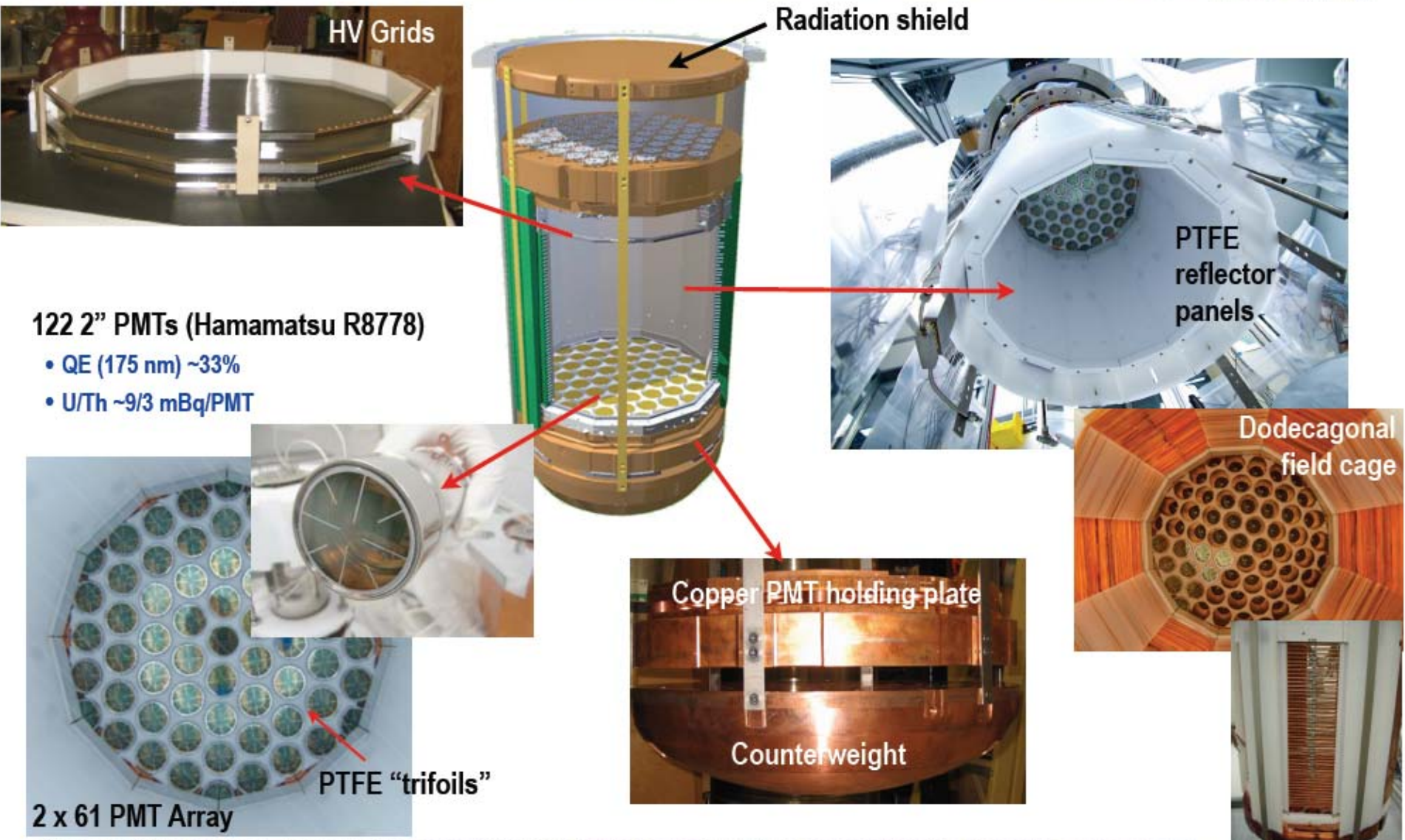
Nucl. Instrum. Meth. A704 (2013) 111, [arXiv:1211.3788 \[physics.ins-det\]](https://arxiv.org/abs/1211.3788)



Эксперимент LUX

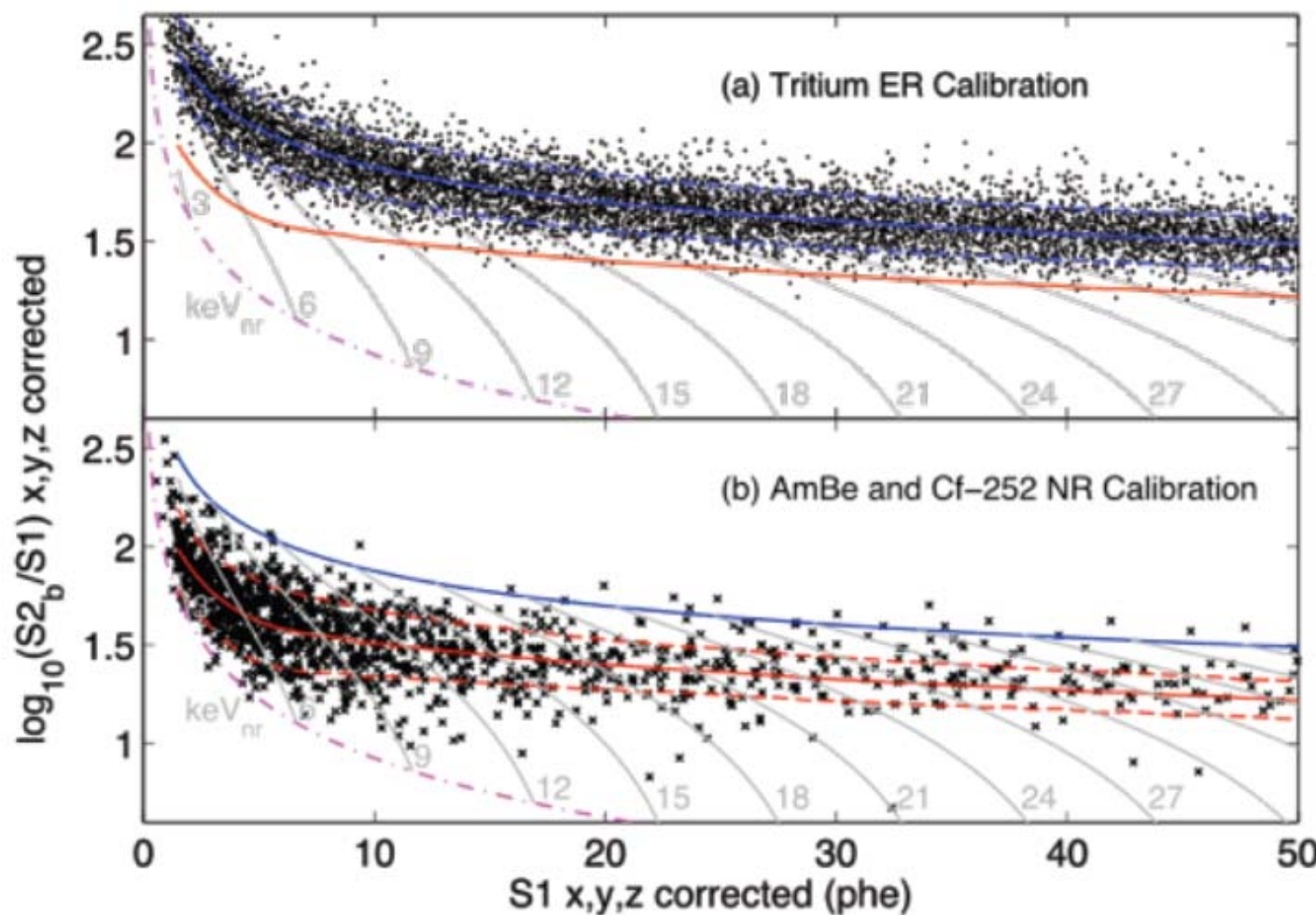


Эксперимент LUX



LUX - Electron Recoil and Nuclear Recoil Bands

Tritium provides very high statistics electron recoil calibration ($>>10^3$ events/phe)
Neutron calibration is consistent with NEST + simulations



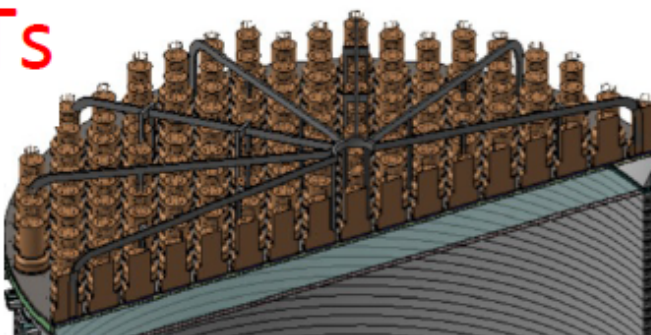
Gray contours indicate constant energies using a S1-S2 combined energy scale

Эксперимент LZ (LUX-ZEPLIN)

Central Xenon – 5600 kg Fiducial

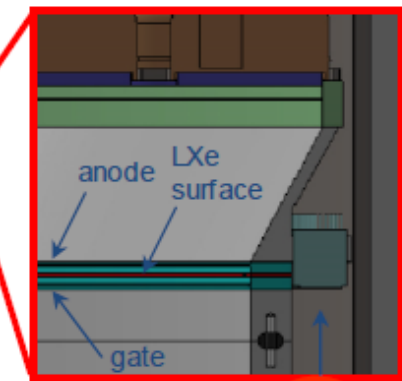
241 PMTs

R11410

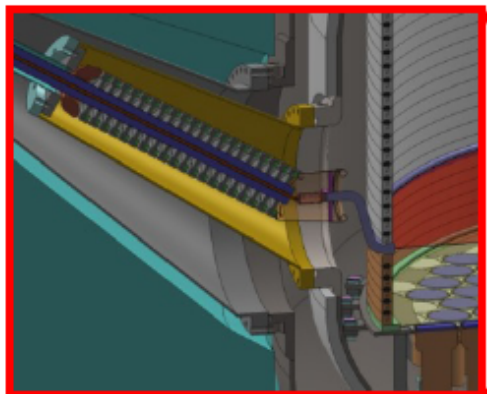


110 skin PMTs

R8520



100-200 kV



146 cm D x H

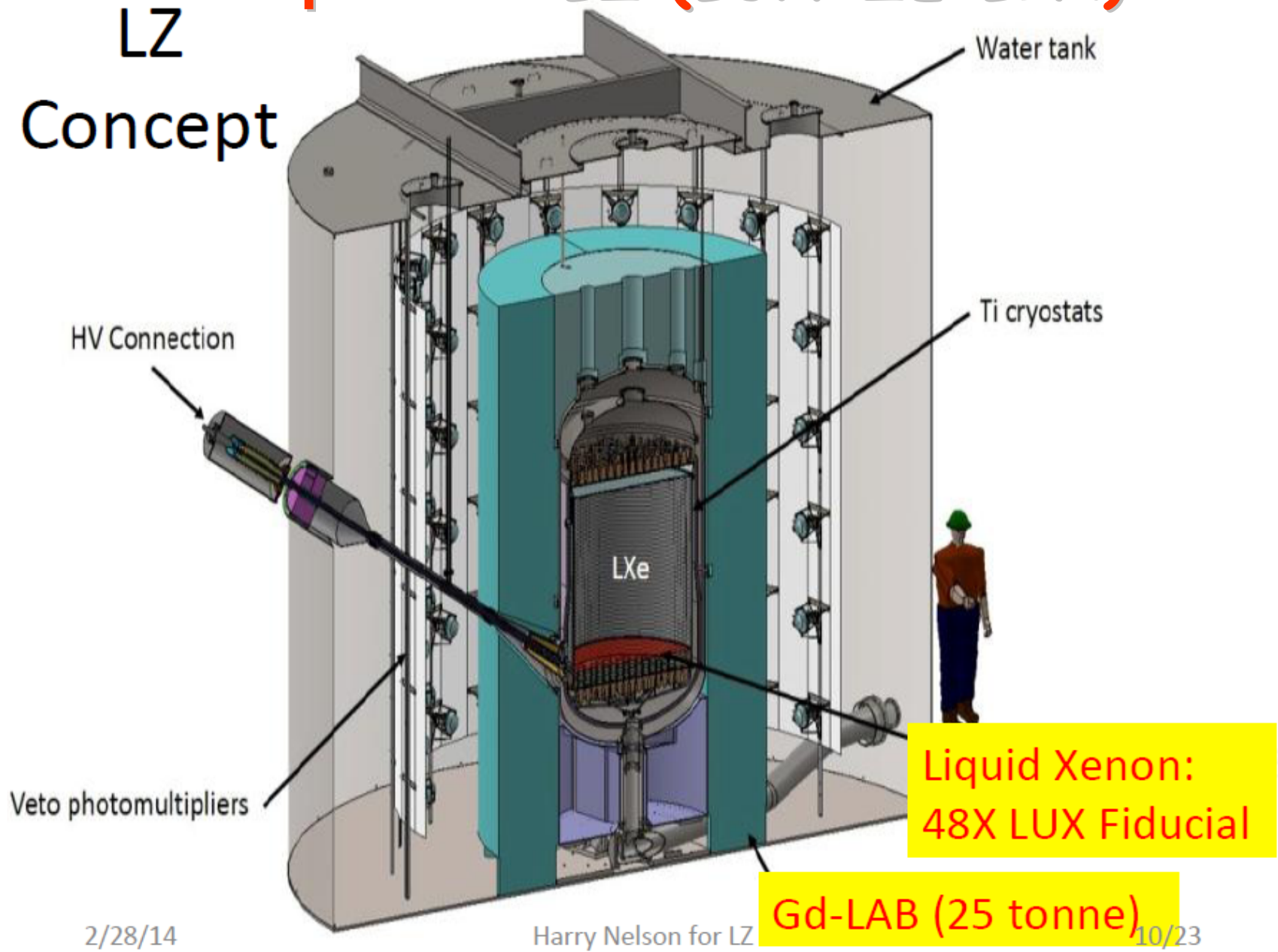
670 μ s drift

241 PMTs

Эксперимент LZ (LUX-ZEPLIN)

LZ

Concept



Другие эксперименты с использованием жидких благородных газов

Family of noble-liquid DM detectors

(слайд 2010 года)

Completed, ongoing, deployment

Future ton- and multiton-scale

() - FV

LNe

LAr

LXe

WARP
2.6 kg
(1.83 kg)



ZEPLIN-III XENON10
12 kg
(6.5kg) 14 kg
(5.4 kg)

3.5cm
40cm
20cm
15cm
30cm
30cm
40cm

XENON100
170 kg
(50 kg)
&
XENON100+
250 kg
(100 kg)

miniCLEAN
Ar 360 kg (100 kg)
Ne 310 kg (85 kg)

XMASS
1 ton
(100 kg)

DEAP
3.6 ton (100 kg)

XMASS
20 ton
(10 ton)

CLEAN
20 – 50 ton
Ne/Ar

WARP 140 kg
60cm
~48cm

ArDM
850 kg



LUX
350 kg
(100 kg)

MAX (Ar/Xe),
Xenon 1t, LZS...
1.5-5 ton (1 ton)

1 m

LZD...
20 ton (10-15 ton)

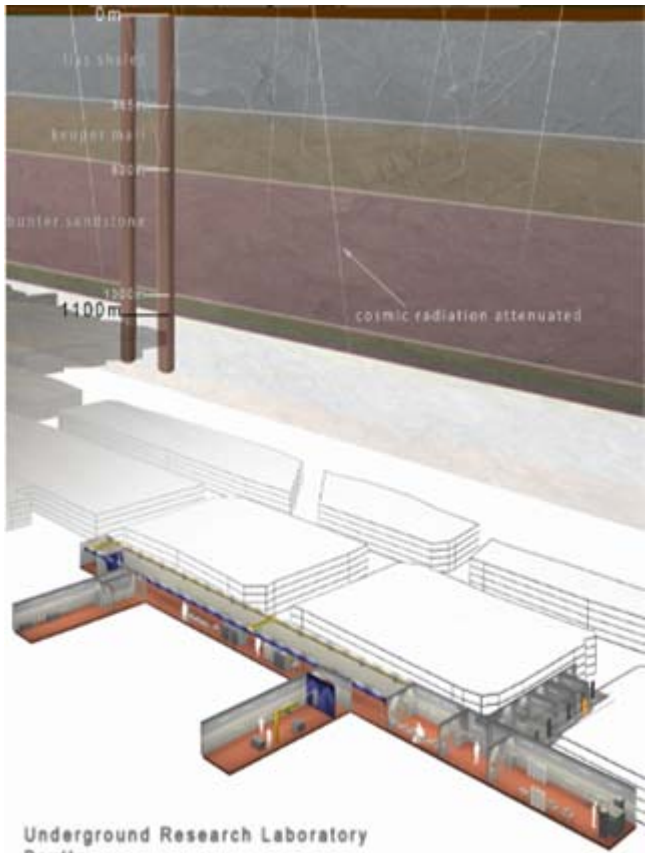
2 m

2 m

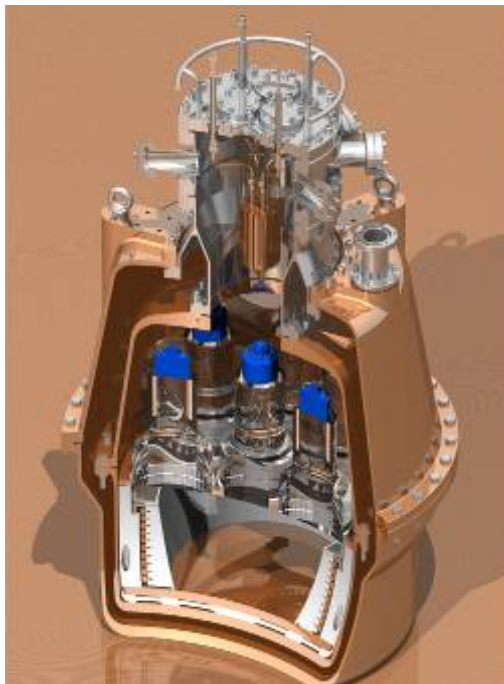
Серия детекторов ZEPLIN

ZEPLIN-I

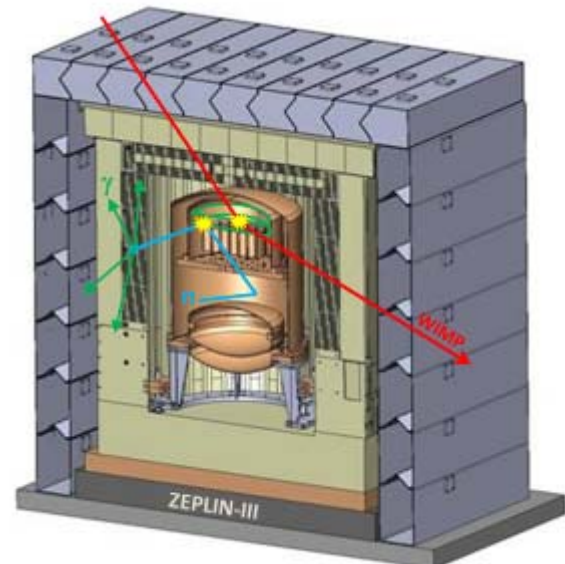
Шахта Boulby, UK
1100 м



ZEPLIN-II



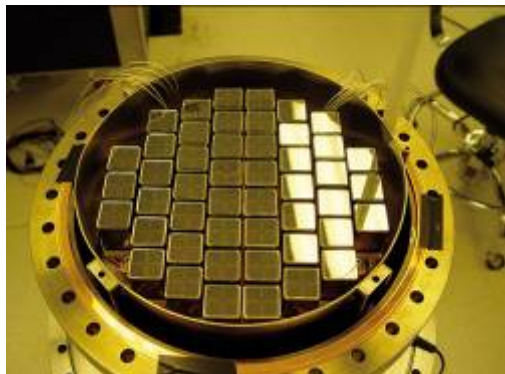
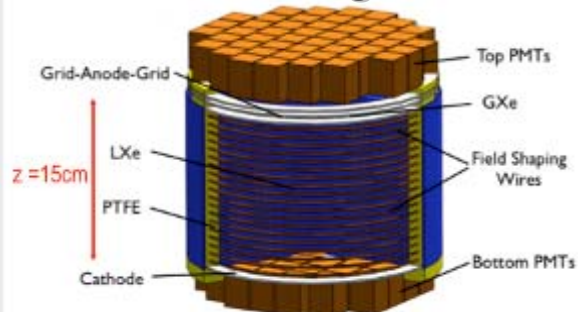
ZEPLIN-III



Серия детекторов XENON



XENON10
25 kg



2005-2007

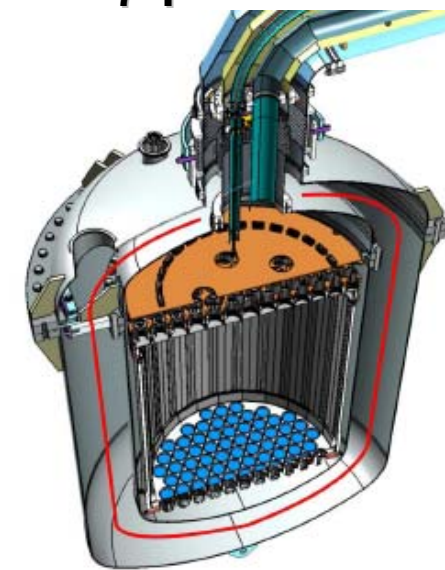
XENON100 **XENON1T** **XENONnT**
161 kg 3.3 T ~ 7 T



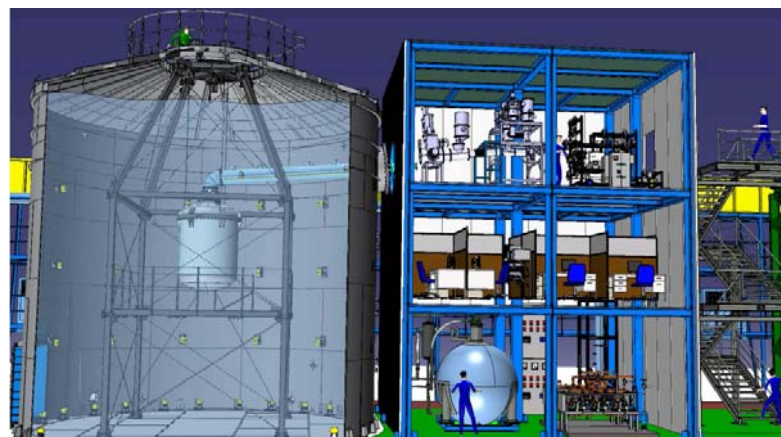
2008-2015

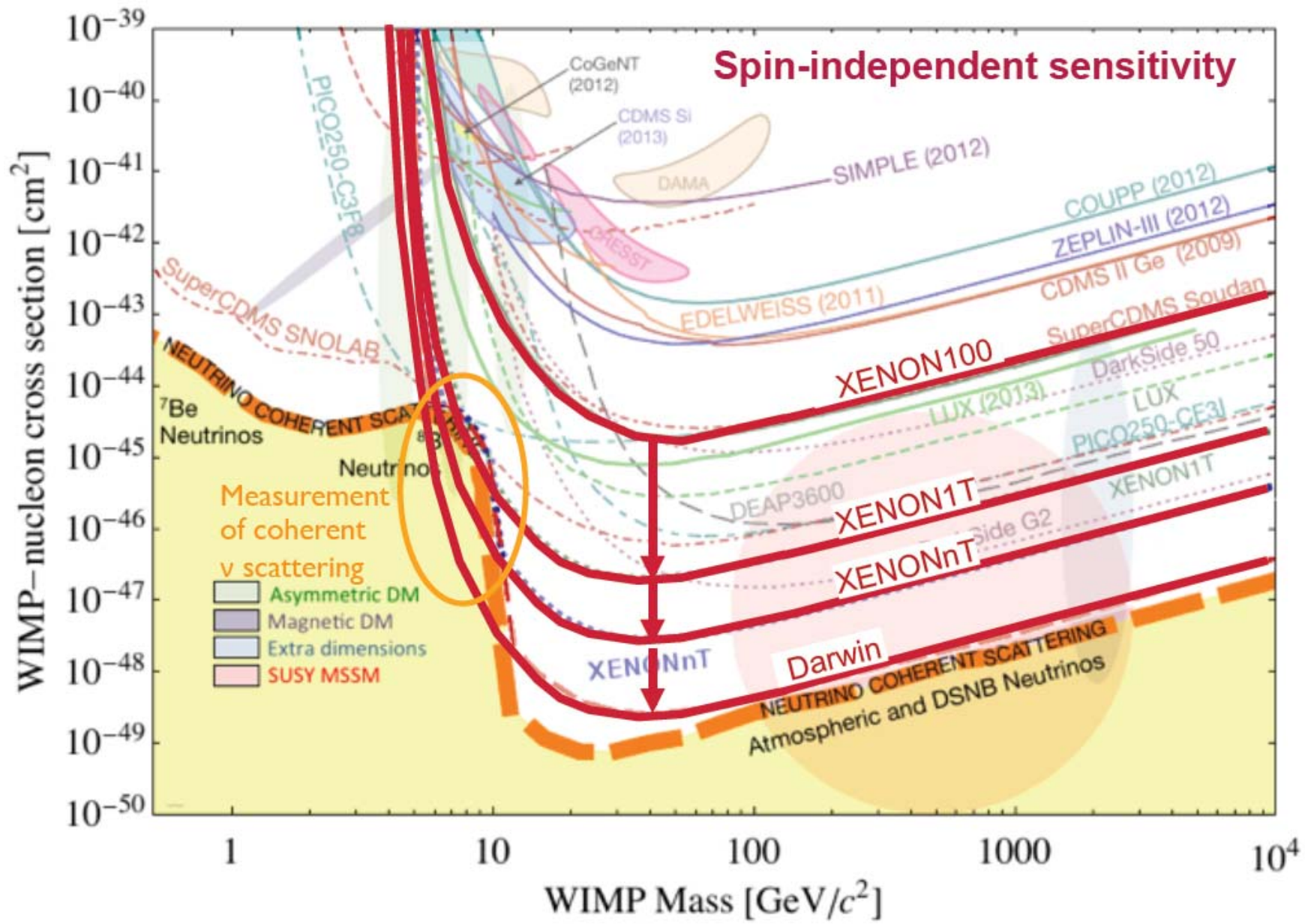


2012-2017



~2017-2022



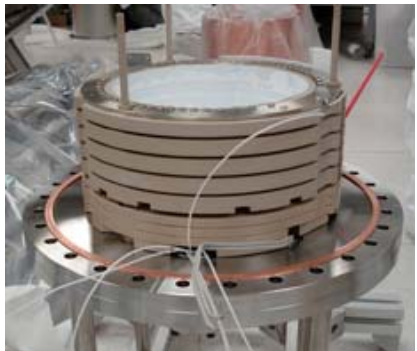


Серия детекторов на LAr

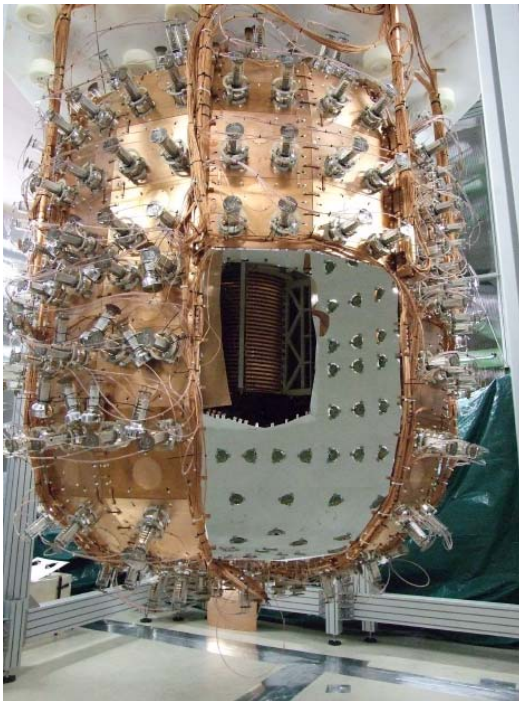


Gran Sasso

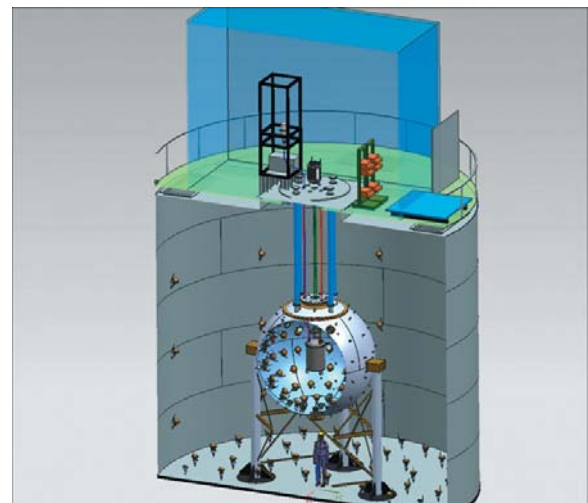
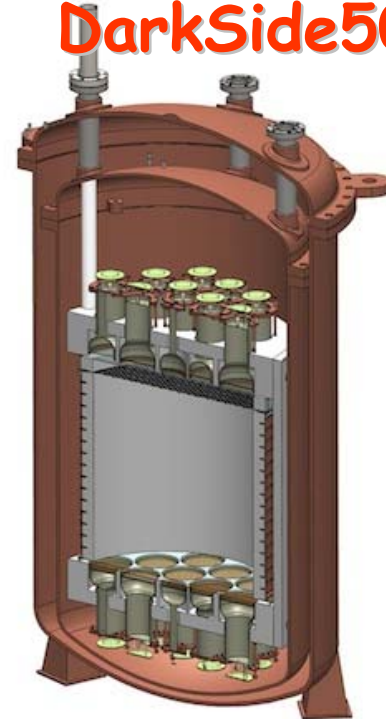
WARP 2.3 |



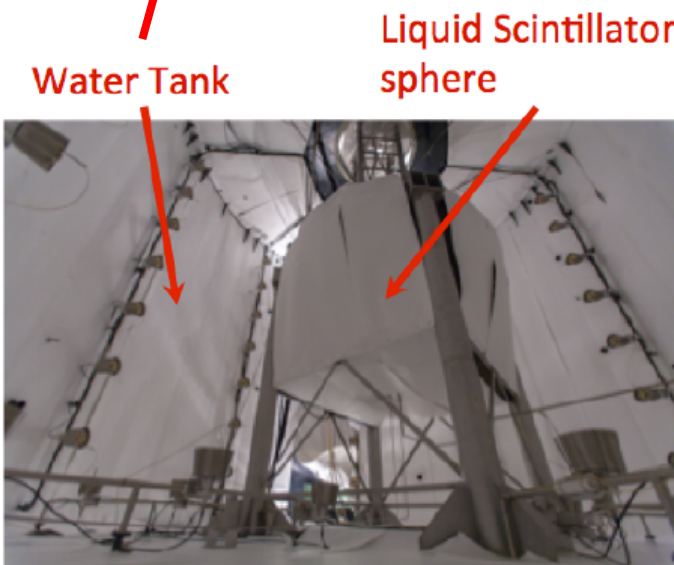
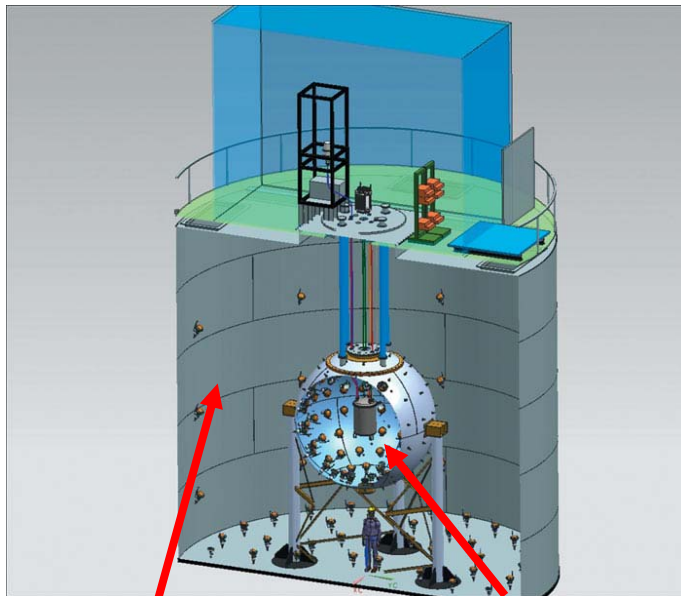
WARP 100 |



DarkSide50



DarkSide50

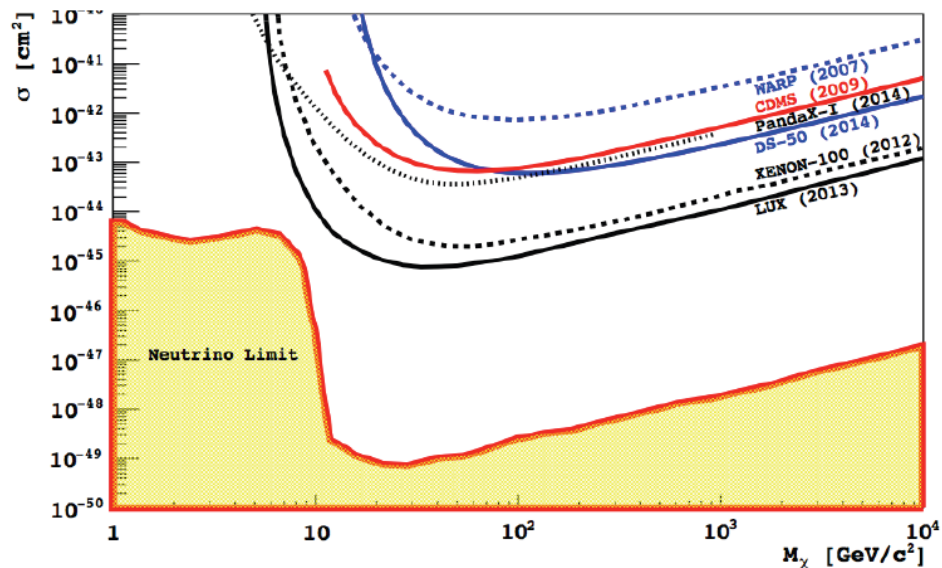


В работе с октября 2013 г. с 3-мя
заполненными детекторами

37/46 kg LAr FV/active, 30 t LS, 1kt H₂O

Заполнен "обычным"
(атмосферным) аргоном

First Results from the DarkSide-50
Dark Matter Experiment at Laboratori
Nazionali del Gran Sasso
arXiv:1410.0653 [astro-ph.CO]



Panda-X

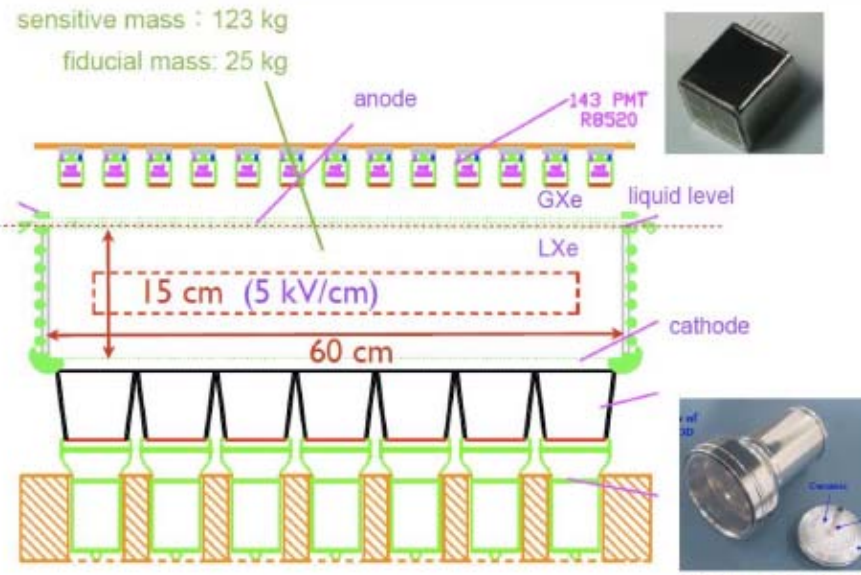
- Moved Panda-X equipment into Jinping Lab in Aug 2012
- Second test run (Aug-Oct,2013) of full assembly completed
 - 7 cm electron drift length, position reconstruction of ^{60}Co events
- Dark Matter Search Runs
 - Phase Ia: 25 kg fiducial x 60 days (just reported)
 - Phase Ib: 300 kg fiducial x 180 days (start data taking in 2015)



TPC assembly at CJPL



PANDAX: a LXe detector with high field & high light yield



Заключение

- Имеются очень сильные свидетельства в пользу существования Темной Материи.
- Эксперименты по прямому детектированию идут полным ходом.
- Благодаря прогрессу в технологиях, с начала экспериментов по настоящее время (за 27 лет) фон в установках уменьшен на 5 порядков величины!
- Супердетекторы (с массой несколько тонн) пройдут практически весь диапазон теоретических предсказаний и упрется в непреодолимый нейтринный фон. В США гонку за G2 выиграли SuperCDMS и LZ.



Эх!

Были бы потоки
темной материи еще
концентрированнее!

Спасибо за
внимание!

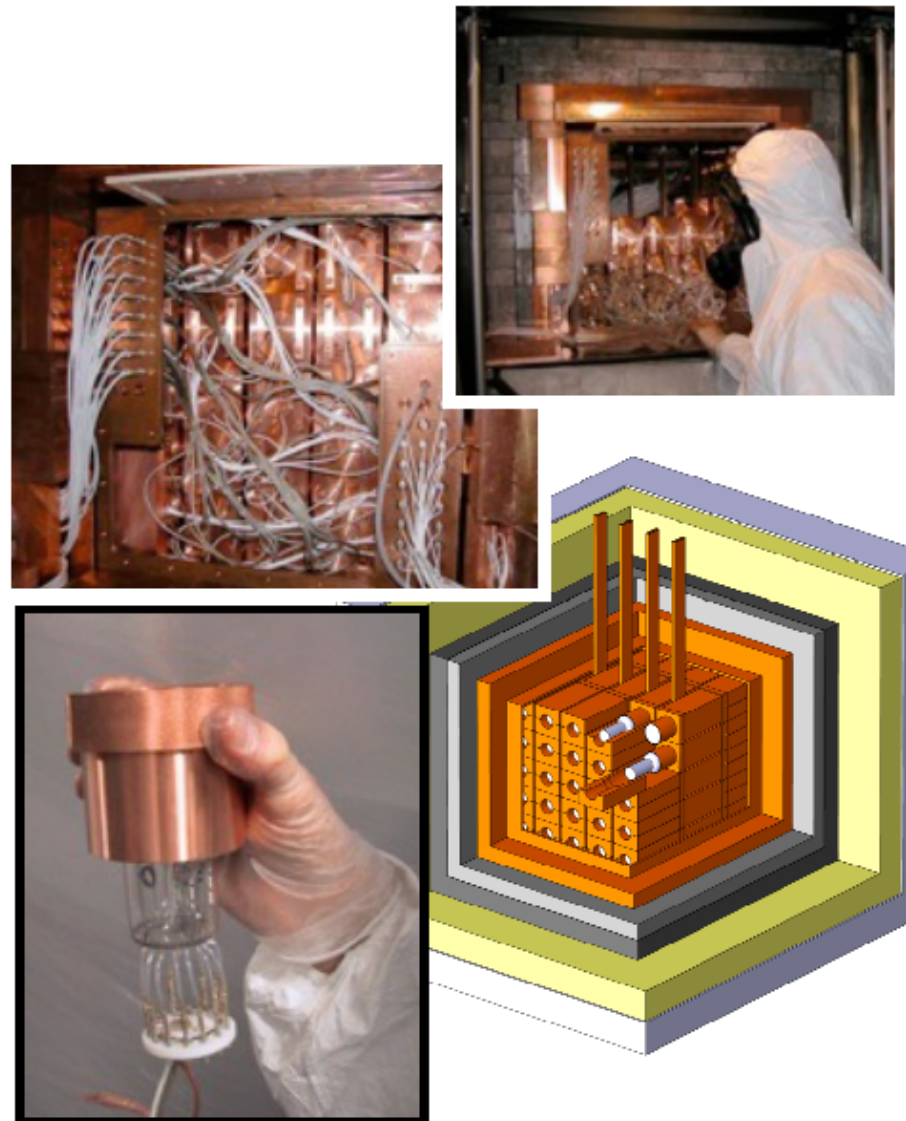
DAMA (100 kg) → LIBRA (250 kg)

- DAMA

- ◆ Original 100 kg NaI array, first reported positive results in 1989

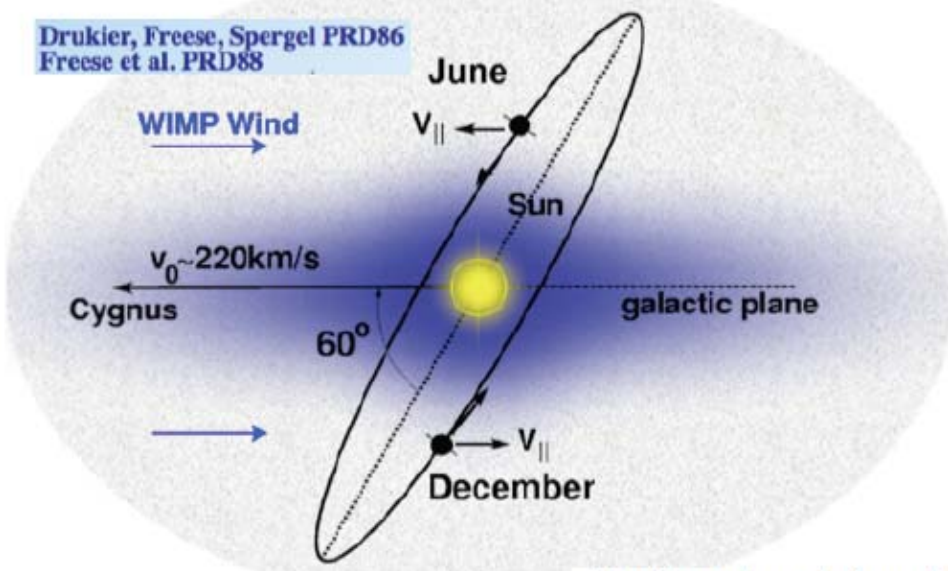
- LIBRA

- ◆ Large sodium Iodide Bulk for RAre processes
- ◆ Operating since 2003 in LNGS
- ◆ Modulation persists: total of 13 cycles



DAMA / LIBRA

Drukier, Freese, Spergel PRD86
Freese et al. PRD88



<http://www.hep.shef.ac.uk/>

- Annual Modulation
 - ◆ Significance is 8.9σ
 - ◆ 1-2% effect in bin count rate
 - ◆ Appears in lowest energy bins
 - ◆ Can another experiment observe this effect?

